

# ウンルー放射は存在するのか？

広島大学大学院理学研究科  
山本一博

共同研究 大下翔薈、張森、達川瑠美

---

1. イントロダクション
2. 粒子とスカラー場の模型
3. 粒子と電磁場の模型
4. Detectorとスカラー場の模型
5. まとめと結論

# 1. イントロダクション

ウンルー効果とは

- 一定加速する観測者から見るミンコフスキーチューブ状態は加速度に比例する温度で熱的励起した状態に見える。

(Unruh 1976)

$a$  加速度



ウンルー温度

$$T_U = \frac{a}{2\pi} = \frac{\hbar a}{2\pi c k_B} = 4 \times 10^{-20} \text{ K} \left( \frac{a}{9.8 \text{ m/s}^2} \right)$$

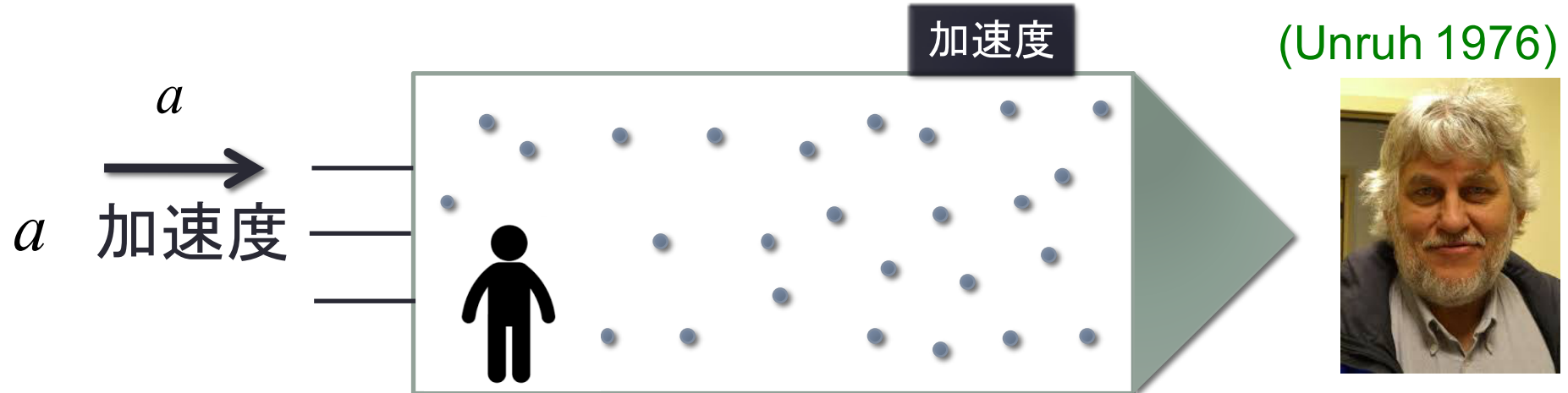
$$c = \hbar = k_B = 1$$

効果は極めて小さい

# 1. イントロダクション

ウンルー効果とは

- 一定加速する観測者から見るミンコフスキーボード状態は加速度に比例する温度で熱的励起した状態に見える。



ウンルー温度

$$T_U = \frac{a}{2\pi} = \frac{\hbar a}{2\pi c k_B} = 4 \times 10^{-20} \text{ K} \left( \frac{a}{9.8 \text{ m/s}^2} \right)$$

$$c = \hbar = k_B = 1$$

効果は極めて小さい

# ウンルー効果の実験的検証の可能性

レーザーの強い電場による電子加速度

Chen Tajima (99)

電場の強さ  $eE = 10^{13} \text{ eV/cm}$

Schutzhold, et al (06)

Iso, et al (11)

$$T_U = \frac{\hbar a}{2\pi c k_B} = 7 \times 10^5 \text{ K} \left( \frac{eE}{10^{13} \text{ eV/cm}} \right)$$

加速度運動する自由度(原子、電子)は、ウンルー効果による励起状態

ウンルー効果に由来する放射(ウンルー放射)?

存在するかどうかわかっていない

cf. Sokolov-Ternov効果(加速器中の電子のスピン偏極の破れ)  
中心力による加速は、本来のウンルー効果とは異なる

# ■ ウンルー効果の関連する物理

- ✓ 高強度レーザーの実験物理
- ✓ ブラックホールからのホーキング輻射とのアナロジー



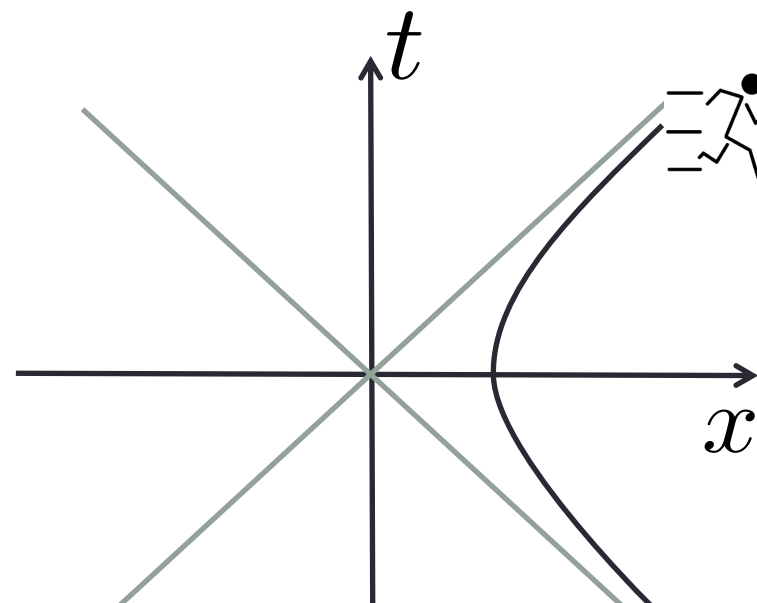
ホライズンの存在  
ミンコフスキ一時空において一定加速度運動する  
観測者がまわりにはる時空:リンドラー時空  
曲がった時空での量子場のアナロジーとして  
ホライズンがつくりだす量子効果の検証

- ✓ 真空のエンタングルメント
- ✓ 相対論と量子力学の接点として最も基本的な系

ミンコフスキ時空で一定加速度で運動する観測者が周りにはる座標  
**リンドラー時空 (Rindler spacetime)**

一定加速度 $a$ の(観測者の)軌跡

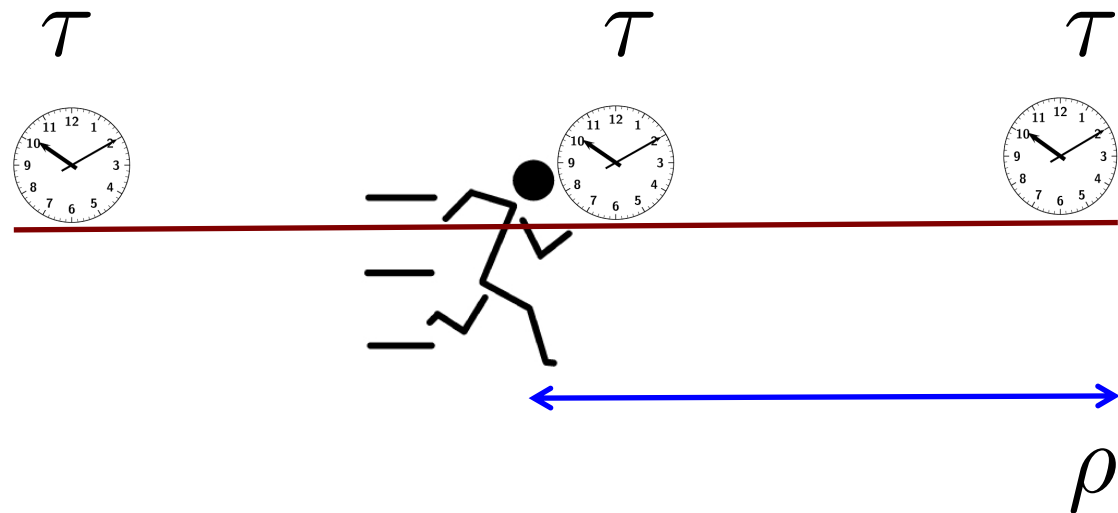
$$\begin{cases} x^\mu = z^\mu(\tau) \\ v^\mu = \dot{z}^\mu(\tau) \rightarrow v^\mu v_\mu = 1 \rightarrow \begin{cases} \dot{t} = \sqrt{1 + \dot{x}^2} \\ \ddot{t}^2 - \ddot{x}^2 = -a^2 \end{cases} \\ a^\mu = \ddot{z}^\mu(\tau) \rightarrow a^\mu a_\mu = -a^2 \rightarrow \end{cases} (+,-,-,-)$$



$$\begin{aligned} t &= \frac{1}{a} \sinh a\tau \\ x &= \frac{1}{a} \cosh a\tau \end{aligned}$$

# 一定加速度運動する観測者の座標

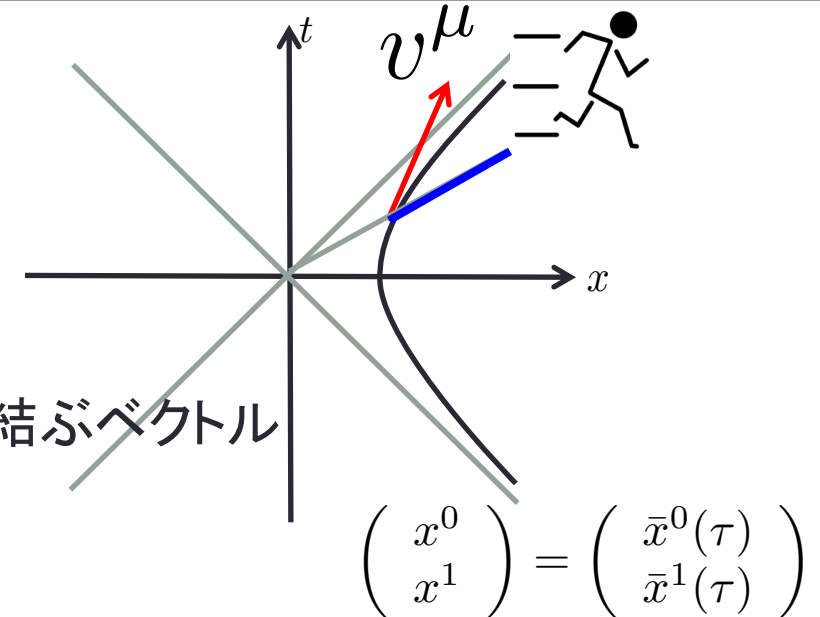
一定加速度 $a$ で運動する観測者  
長さ $\rho$ の棒  
を持たせて周りに座標をはる



Rindler space-time

観測者の時刻  $\tau$ での4-vector  $v^\mu$

$$\begin{pmatrix} v^0 \\ v^1 \end{pmatrix} = \begin{pmatrix} \dot{x}^0(\tau) \\ \dot{x}^1(\tau) \end{pmatrix} = \begin{pmatrix} \cosh a\tau \\ \sinh a\tau \end{pmatrix}$$

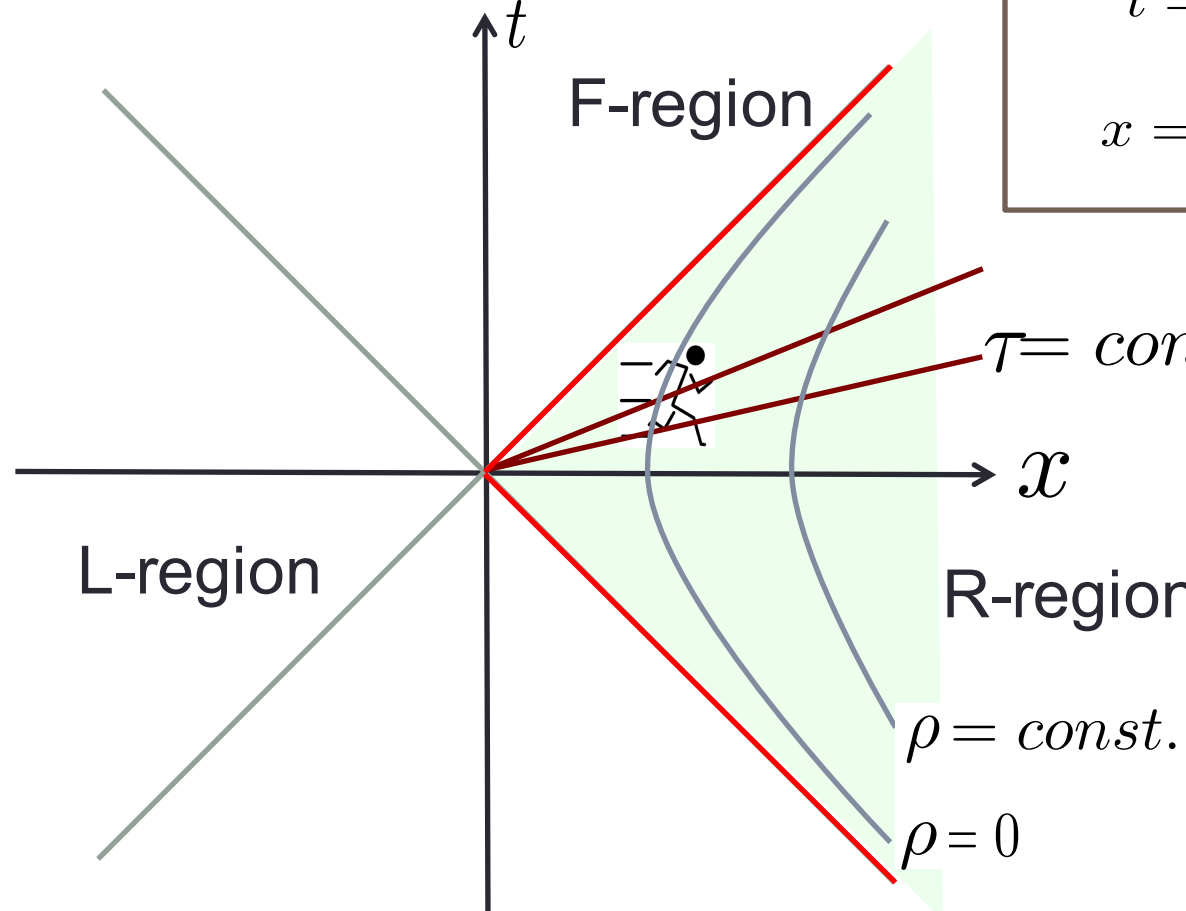


実験室系とのローレンツ変換

$$\begin{pmatrix} s^0_{\text{lab.}} \\ s^1_{\text{lab.}} \end{pmatrix} = \begin{pmatrix} v^0 & v^1 \\ v^1 & v^0 \end{pmatrix} \begin{pmatrix} 0 \\ \rho \end{pmatrix} = \begin{pmatrix} v^1 \rho \\ v^0 \rho \end{pmatrix}$$

$$t(\tau, \rho) = \bar{x}^0(\tau) + s^0_{\text{lab.}} = \frac{1}{a} \sinh a\tau + \rho \sinh a\tau$$

$$x(\tau, \rho) = \bar{x}^1(\tau) + s^1_{\text{lab.}} = \frac{1}{a} \cosh a\tau + \rho \cosh a\tau$$



無限大の加速度  $\rightarrow -\frac{1}{a} < \rho < \infty$

リンドラー時空はミンコフスキ時空の  
R-regionのみをはる座標、  
L-region, F-regionから情報を受け取れない  
ホライズン

$$t = \frac{1}{a} \sinh a\tau + \rho \sinh a\tau$$

$$x = \frac{1}{a} \cosh a\tau + \rho \cosh a\tau$$

$$-\frac{1}{a} < \rho < \infty$$

↑  
棒の目盛りが取れる範囲

$$ds^2 = dt^2 - dx^2$$

$$ds^2 = (1 + a\rho)^2 d\tau^2 - d\rho^2$$

$$\hat{\xi} = \frac{1}{a} \ln(1 + a\xi\rho)$$

$$ds^2 = e^{2a\xi} (d\tau^2 - d\xi^2)$$

# Massless scalar field in the Rindler spacetime

$$S[\phi] = \frac{1}{2} \int d^2x \sqrt{-g} g^{\alpha\beta} \partial_\alpha \phi \partial_\beta \phi$$

Minkowski-spacetime

$$ds^2 = dt^2 - dx^2$$

$$S = \frac{1}{2} \int dt dx ((\partial_t \phi)^2 - (\partial_x \phi)^2)$$

$$\left[ \frac{\partial^2}{\partial t^2} - \frac{\partial^2}{\partial x^2} \right] \phi = 0$$

Rindler-spacetime

$$ds^2 = e^{2\xi} (d\tau^2 - d\xi^2)$$

$$S = \frac{1}{2} \int d\tau d\xi ((\partial_\tau \phi)^2 - (\partial_\xi \phi)^2)$$

$$\left[ \frac{\partial^2}{\partial \tau^2} - \frac{\partial^2}{\partial \xi^2} \right] \phi = 0$$

$$[\hat{\phi}(t, x), \hat{\Pi}(t, x')] = i\delta(x - x')$$



$$\hat{\phi} = \frac{1}{\sqrt{2\pi}} \int_{-\infty}^{+\infty} dk \frac{1}{\sqrt{2|k|}} \left( e^{-i|k|t+ikx} \hat{a}_k + e^{i|k|t-ikx} \hat{a}_k^\dagger \right) \quad [\hat{a}_k, \hat{a}_{k'}^\dagger] = \delta(k - k')$$

## ミンコフスキ時空の量子場

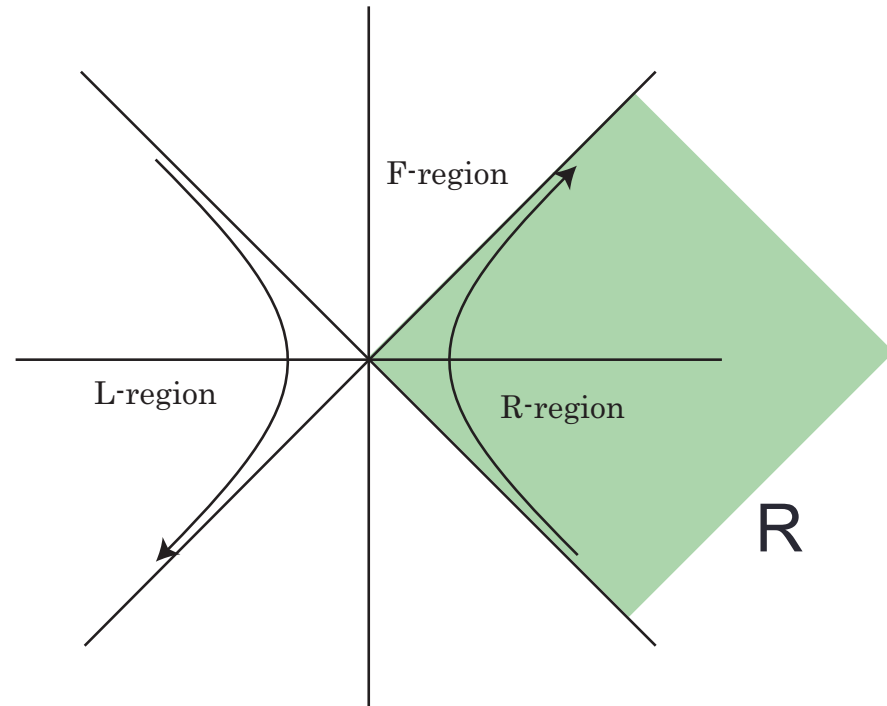
$$\hat{\phi} = \frac{1}{\sqrt{2\pi}} \int_{-\infty}^{+\infty} dk \frac{1}{\sqrt{2|k|}} \left( e^{-i|k|t+ikx} \hat{a}_k + e^{i|k|t-ikx} \hat{a}_k^\dagger \right)$$

Minkowski真空  
 $\hat{a}_k |0_M\rangle = 0$

## リンドラー時空の量子場

$$\hat{\phi} = \frac{1}{\sqrt{2\pi}} \int_{-\infty}^{+\infty} dp \frac{1}{\sqrt{2|p|}} \left( e^{-i|p|\tau+ip\xi} \hat{b}_p + e^{i|p|\tau-ip\xi} \hat{b}_p^\dagger \right)$$

Rindler真空  
 $\hat{b}_p |0_R\rangle = 0$



$$|0_M\rangle \neq |0_R\rangle$$

## Bogoliubov変換

$$\hat{b}_p = \int dk \left( \alpha_{kp} \hat{a}_k + \beta_{kp} \hat{a}_k^\dagger \right)$$

$$\beta_{kp} = e^{-\pi p/a} \alpha_{kp}$$

## ミンコフスキ一時空の量子場

$$\hat{\phi} = \frac{1}{\sqrt{2\pi}} \int_{-\infty}^{+\infty} dk \frac{1}{\sqrt{2|k|}} \left( e^{-i|k|t+ikx} \hat{a}_k + e^{i|k|t-ikx} \hat{a}_k^\dagger \right)$$

Minkowski真空

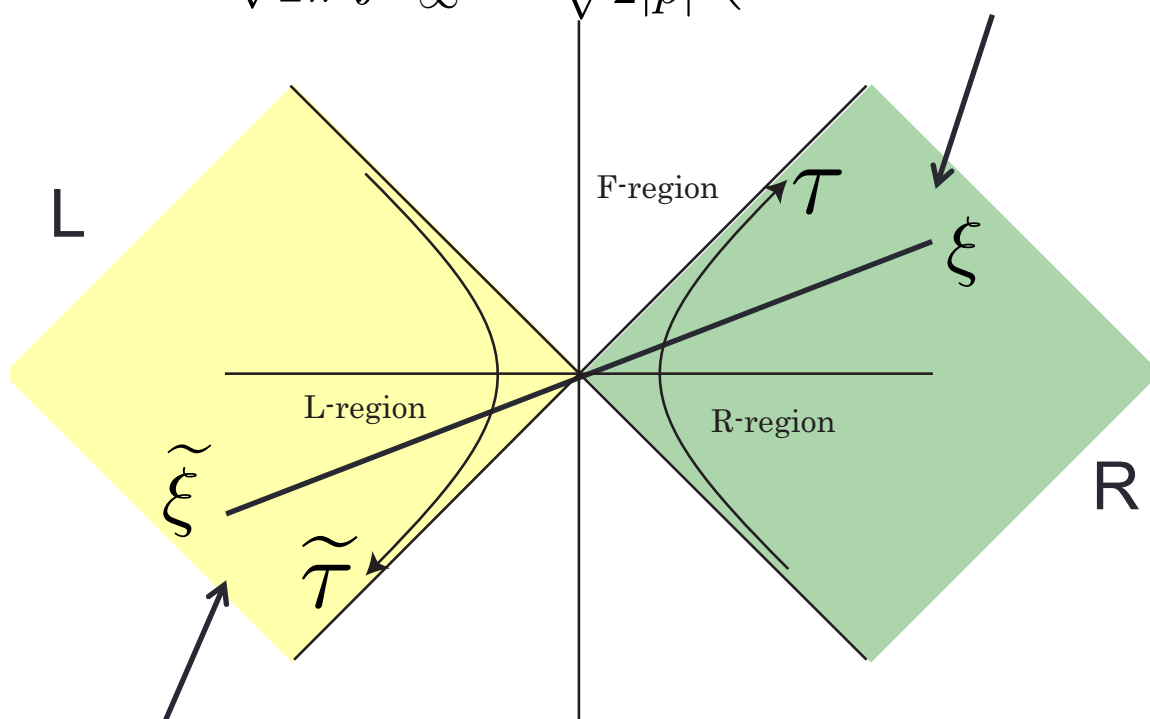
$$\hat{a}_k |0_M\rangle = 0$$

## リンドラー時空の量子場

$$\hat{\phi}_R = \frac{1}{\sqrt{2\pi}} \int_{-\infty}^{+\infty} dp \frac{1}{\sqrt{2|p|}} \left( e^{-i|p|\tau+ip\xi} \hat{b}_p + e^{i|p|\tau-ip\xi} \hat{b}_p^\dagger \right)$$

Rindler真空

$$\hat{b}_p |0_R\rangle = 0$$

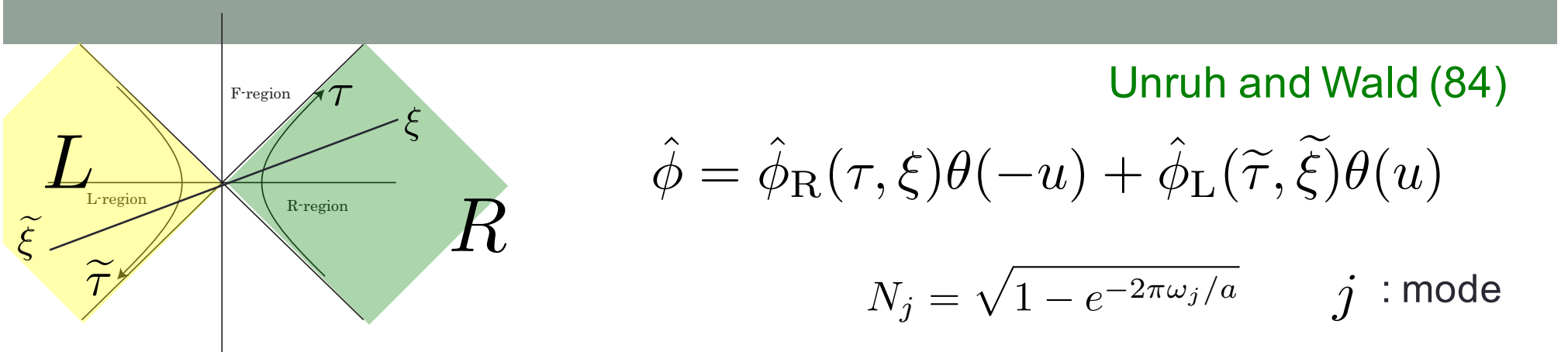


$$\hat{\phi}_L = \frac{1}{\sqrt{2\pi}} \int_{-\infty}^{\infty} dp \frac{1}{\sqrt{2|p|}} \left( e^{i|p|\tilde{\tau}-ip\tilde{\xi}} \hat{c}_p + e^{-i|p|\tilde{\tau}+ip\tilde{\xi}} \hat{c}_p^\dagger \right)$$

$$|0_M\rangle \neq |0_R\rangle$$

Left-Rindler真空

$$\hat{c}_p |0_L\rangle = 0$$



Unruh and Wald (84)

$$\hat{\phi} = \hat{\phi}_R(\tau, \xi)\theta(-u) + \hat{\phi}_L(\tilde{\tau}, \tilde{\xi})\theta(u)$$

$$N_j = \sqrt{1 - e^{-2\pi\omega_j/a}} \quad j : \text{mode}$$

$$\begin{aligned} |0, M\rangle &= \prod_j N_j \exp \left[ e^{-\pi\omega_j/a} \hat{b}_j^\dagger \hat{c}_j^\dagger \right] |0_R\rangle \otimes |0_L\rangle \\ &= \prod_j \left[ N_j \sum_{n_j=0}^{\infty} e^{-\pi n_j \omega_j/a} |n_j, R\rangle \otimes |n_j, L\rangle \right] \end{aligned}$$

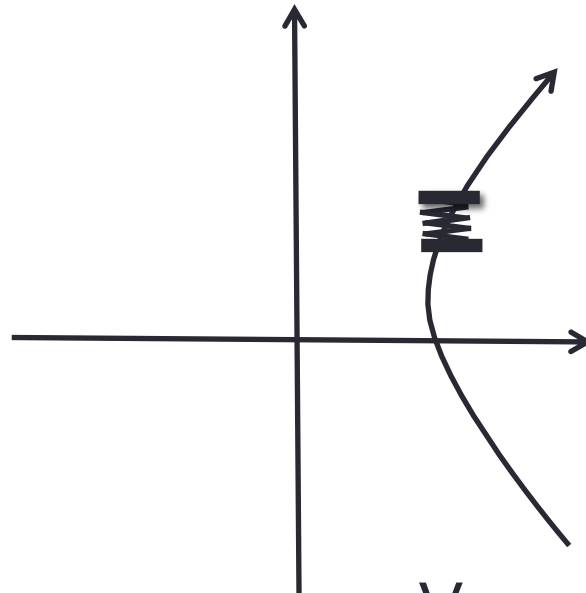
→ RとLの対で励起した状態の重ね合わせ：  
ミンコフスキー真空のもつれ状態

$$\rho_R = \text{Tr}_L(|0, M\rangle\langle 0, M|) = \prod_j \left[ N_j^2 \sum_{n_j=0}^{\infty} e^{-2\pi n_j \omega_j/a} |n_j, R\rangle\langle n_j, R| \right]$$

$$\text{Tr}[\rho_R a_R^\dagger(u_j) a_R(u_j)] = \frac{1}{e^{2\pi\omega_j/a} - 1} = \frac{1}{e^{\omega_j/T_U} - 1} \quad T_U = \frac{a}{2\pi}$$

# 一定加速度運動する力学自由度とウンルー効果

調和振動子  
(Detector)

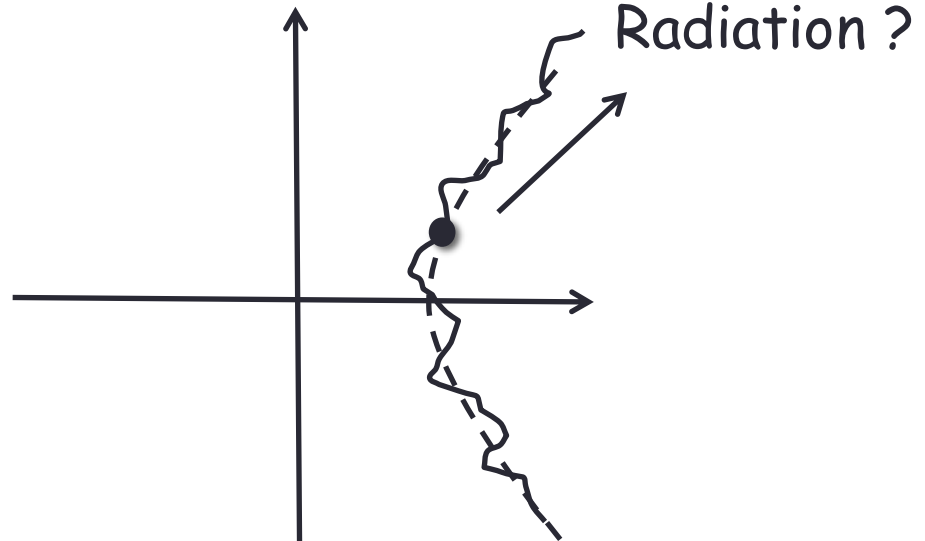


Vacuum fluctuationsと相互作用

粒子

Iso et al. (2011)

古典軌道からの位置のズレ



Detectorの励起、ランダム運動 熱的性質を持つ

放射(ウンルー放射)があるのか？

これまでにはっきりした結論が得られていない問題

## 2. 粒子とスカラ一場の模型

Lin, Hu (2006)  
Iso, et al. (2011)  
Oshita, YK, Zhang (2015)

$$S[z, \phi] = -m \int d\tau \sqrt{\eta_{\mu\nu} \dot{z}^\mu \dot{z}^\nu} + \int d^4x \frac{1}{2} \partial^\mu \phi \partial_\mu \phi + S_{int}(z, \phi)$$

$$\begin{aligned} S_{int}(z, \phi) &= e \int d\tau d^4x \sqrt{g_{\mu\nu}(x) \dot{z}^\mu \dot{z}^\nu} \phi(x) \delta^4(x - z(\tau)) \\ &= e \int d\tau \sqrt{\eta_{\mu\nu} \dot{z}^\mu \dot{z}^\nu} \phi(z(\tau)) \end{aligned}$$

## 3. 粒子と電磁場の模型

Oshita, YK, Zhang (2016)

$$S[z, A] = -m \int d\tau \sqrt{\eta_{\mu\nu} \dot{z}^\mu \dot{z}^\nu} - \frac{1}{4} \int d^4x F^{\mu\nu} F_{\mu\nu} + S_{int}(z, A)$$

$$\begin{aligned} S_{int}(z, A) &= -e \int d\tau \int d^4x \delta_D^4(x - z(\tau)) \dot{z}^\mu(\tau) A_\mu(x) \\ &= -e \int d\tau \dot{z}^\mu(\tau) A_\mu(z(\tau)) \end{aligned}$$

# 粒子とスカラー場の模型

Iso, et al. (2011)

☒  $\partial^\mu \partial_\mu \phi(x) = e \int d\tau \sqrt{\eta_{\mu\nu} \dot{z}^\mu \dot{z}^\nu} \delta^4(x - z(\tau))$

$$\phi(x) = \phi_{inh}(x) + \phi_h(x) \longrightarrow \textcircled{4} \text{ 2点相関関数} \rightarrow \text{EMテンソル}$$

① 
$$\begin{aligned} \phi_{inh}(x) &= \int d^4x' G_R(x, x') e \int d\tau' \sqrt{\eta_{\mu\nu} \dot{z}^\mu \dot{z}^\nu} \delta^4(x' - z(\tau')) \\ &= e \int d\tau' G_R(x - z(\tau')) \end{aligned}$$

③ ☒ 
$$m \ddot{z}^\mu = e \left( \ddot{z}^\mu \phi + \dot{z}^\mu \dot{z}^\alpha \frac{\partial \phi}{\partial x^\alpha} - \eta^{\mu\alpha} \frac{\partial \phi}{\partial x^\alpha} \right) \Big|_{x=z(\tau)} + F^\mu$$

② 
$$m \ddot{z}^\mu = \frac{e^2}{12\pi} \left( \ddot{z}^\mu + \dot{z}^\mu \left( \ddot{z} \right)^2 \right) + e \left( \ddot{z}^\mu \phi_h + \dot{z}^\mu \dot{z}^\alpha \frac{\partial \phi_h}{\partial x^\alpha} - \eta^{\mu\alpha} \frac{\partial \phi_h}{\partial x^\alpha} \right) \Big|_{x=z(\tau)} + F^\mu$$

放射反作用による摩擦    量子ゆらぎによる揺動力

## ②粒子の運動方程式

$$m\ddot{z}^\mu = \frac{e^2}{12\pi} \left( \ddot{z}^\mu + \dot{z}^\mu (\ddot{z})^2 \right) + e \left( \ddot{z}^\mu \phi_h + \dot{z}^\mu \dot{z}^\alpha \frac{\partial \phi_h}{\partial x^\alpha} - \eta^{\mu\alpha} \frac{\partial \phi_h}{\partial x^\alpha} \right) \Big|_{x=z(\tau)} + F^\mu$$

放射反作用による摩擦      量子場による揺力

$$z^\mu(\tau) = z_{\text{cl}}^\mu(\tau) + \delta z^\mu(\tau)$$

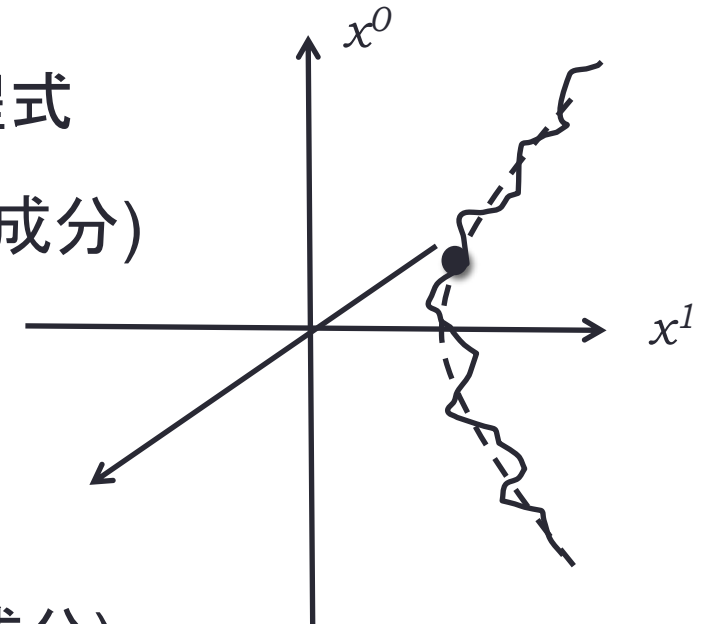
$$F^\mu = ma(\dot{z}^1, \dot{z}^0, 0, 0)$$

$\delta z^\mu$  の線形方程式

Transverse 成分 : ( $x^0, x^1$ 面に垂直成分)

$$v^i = \delta \dot{z}^i$$

$$m\dot{v}^i = \frac{e^2}{12\pi} (\ddot{v}^i - a^2 v^i) + e \frac{\partial \phi_h}{\partial x^i} \Big|_{x=z(\tau)}$$



Longitudinal 成分 : ( $x^0, x^1$ 面内の成分)

$$m(\delta \ddot{\xi} - a^2 \delta \xi) = \frac{e^2}{12\pi} (\delta \ddot{\xi} - a^2 \delta \dot{\xi}) + e [a + \partial / \partial \xi] \phi_h \Big|_{x=z(\tau)}$$

# Transverse方向のランダム運動 (ウンル一効果と関係する)

$$v^i = \delta \dot{z}^i \quad m \dot{v}^i = \frac{e^2}{12\pi} (\ddot{v}^i - a^2 v^i) + e \frac{\partial \phi_h}{\partial x^i} \Big|_{x=z(\tau)}$$

$$v^i(\tau) = v^i(\tau_0) e^{-a\sigma(\tau-\tau_0)} + \frac{e}{m} \int_{\tau_0}^{\tau} d\tau' \partial_i \phi_h(z(\tau')) e^{-a\sigma(\tau-\tau')}$$

$$\tau = \tau_0 \text{ 初期条件 } v^i = v^i(\tau_0) \qquad \qquad \sigma = \frac{e^2 a}{12\pi m} \ll 1$$

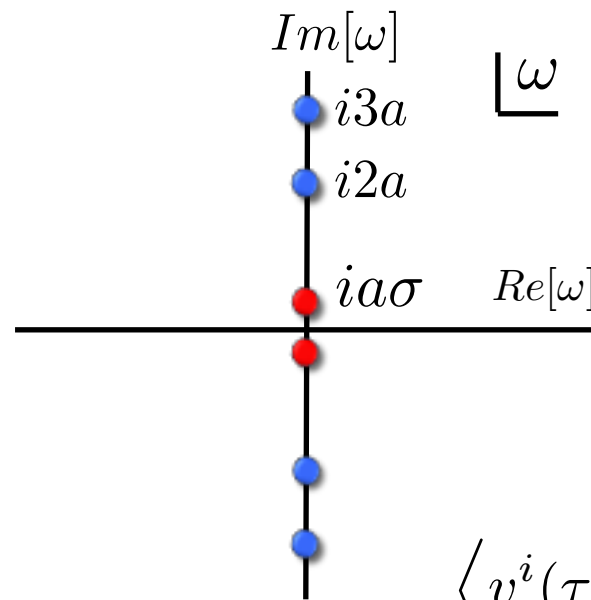
$$\begin{aligned} \langle v^i(\tau) v^j(\tau') \rangle &= e^{-\sigma a(\tau+\tau'-2\tau_0)} v^i(\tau_0) v^j(\tau_0) \\ &+ \frac{e^2}{m^2} \int_{\tau_0}^{\tau} \int_{\tau_0}^{\tau'} d\tau'' d\tau''' e^{-a\sigma(\tau-\tau'')} e^{-a\sigma(\tau'-\tau''')} \langle \partial_i \phi_h(z(\tau'')) \partial_j \phi_h(z(\tau''')) \rangle \\ &\hline \text{場の真空の性質で決まる} \end{aligned}$$

$$\langle \phi_h(x) \phi_h(x') \rangle = -\frac{1}{4\pi^2} \frac{1}{(t-t'-i\delta)^2 - |\mathbf{x}-\mathbf{x}'|^2}$$

$$\langle \partial_i \phi_h(z(\tau)) \partial_j \phi_h(z(\tau')) \rangle = \frac{a^4}{32\pi^2} \frac{\delta_{ij}}{\sinh^4 \left( \frac{a(\tau-\tau'-i\delta)}{2} \right)}$$

$$\tau_0 \rightarrow -\infty \quad \left\langle v^i(\tau) v^j(\tau') \right\rangle_S = \frac{e^2 \delta_{ij}}{24\pi^2 m^2} \int d\omega \omega \frac{\omega^2 + a^2}{a^2 \sigma^2 + \omega^2} \coth(\pi \omega/a) e^{i\omega(\tau-\tau')}$$

$$= \frac{e^2 \delta_{ij}}{24\pi^2 m^2} \left\{ \pi a^2 (1 - \sigma^2) \cot \pi \sigma e^{-a\sigma|\tau-\tau'|} - 2a^2 \sum_{n=2}^{\infty} \frac{n(n^2 - 1)}{n^2 - \sigma^2} e^{-na|\tau-\tau'|} \right\}$$



$$\sigma = \frac{e^2 a}{12\pi m} \ll 1 \quad a|\tau - \tau'| \ll 1$$

$$\left\langle v^i(\tau) v^j(\tau') \right\rangle_S \simeq \delta_{ij} \frac{a}{2\pi m} - \delta_{ij} \frac{a^2 e^2}{12\pi^2 m^2} \left[ \frac{1}{(a|\tau - \tau'|)^2} + \log |a(\tau - \tau')| \right]$$

$$\frac{1}{2m} \left\langle v^i v^j \right\rangle = \delta_{ij} \frac{T_U}{2} \quad T_U = \frac{a}{2\pi}$$

$$O(a^2/m^2)$$

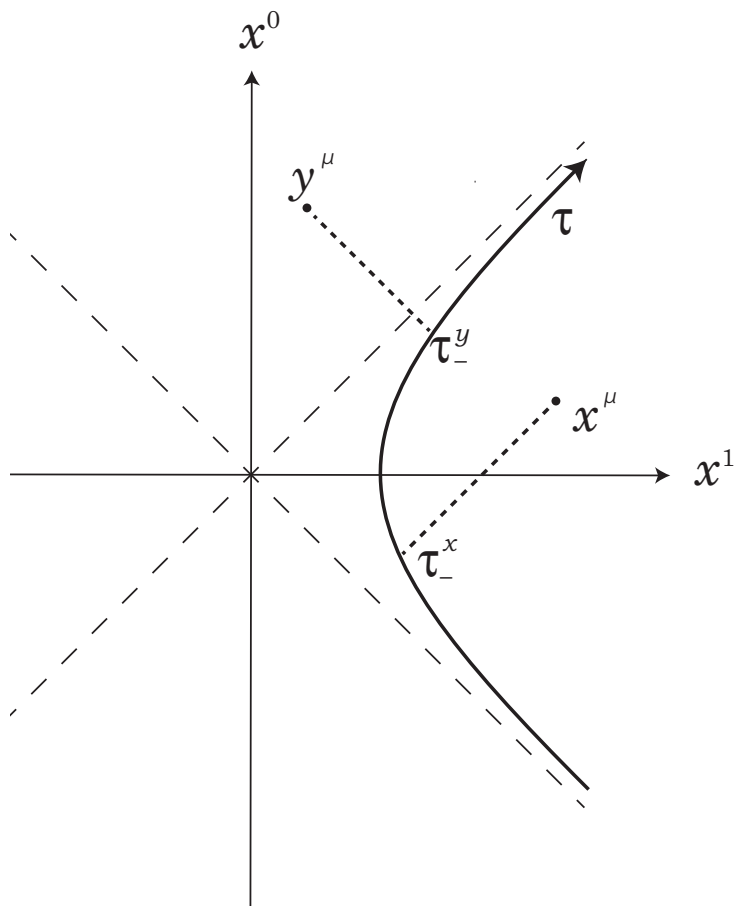
→ エネルギー等分配則

② 粒子の運動は解けた(エネルギー等分配則を満たす成分)

③ 粒子の運動による放射(2点関数→エネルギー運動量テンソル)

$$\phi(x) = \phi_h(x) + \phi_{inh}(x) \quad G_R(x - z(\tau')) = \theta(t - z^0(\tau'))\delta((x - z(\tau'))^2)$$

$$\phi_{inh}(x) = e \int d\tau' G_R(x - z(\tau')) = \frac{e}{4\pi\rho(x)} = \frac{e}{4\pi\dot{z}(\tau_-) \cdot (x - z(\tau_-))}$$



$$\rho(x) = \dot{z}(\tau_-) \cdot (x - z(\tau_-))$$

$$z^\mu = \bar{z}^\mu + \delta z^\mu + \dots$$

$$\rho(x) = \rho_0(x) + \delta\rho(x) + \dots$$

$$\rho_0(x) = \dot{\bar{z}}(\tau_-) \cdot (x - \bar{z}(\tau_-))$$

$$\delta\rho(x) = \delta\dot{z}(\tau_-) \cdot (x - \bar{z}(\tau_-)) + \delta z(\tau_-)$$

$$\delta\dot{z}^i(\tau) = v^i(\tau) \quad \text{解けている}$$

$$\phi_{inh}(x) \cong \frac{e}{4\pi\rho_0(x)} \left( 1 - \frac{\delta\rho(x)}{\rho_0(x)} \right)$$

## 2点関数

$$\begin{aligned} T_{\mu\nu} &= \langle \partial_\mu \phi \partial_\nu \phi - \frac{1}{2} \eta_{\mu\nu} \partial^\alpha \phi \partial_\alpha \phi \rangle \\ &= \lim_{y \rightarrow x} \langle \partial_\mu \phi(x) \partial_\nu \phi(y) - \frac{1}{2} \eta_{\mu\nu} \partial^\alpha \phi(x) \partial_\alpha \phi(y) \rangle \end{aligned}$$

$$\phi(x) = \phi_h(x) + \phi_{inh}(x)$$

$$\langle \phi(x) \phi(y) \rangle = \underbrace{\langle \phi_h(x) \phi_h(y) \rangle}_{\phi_{inh}(x)} + \underbrace{\langle \phi_h(x) \phi_{inh}(y) \rangle}_{\phi_{inh}(x)} + \underbrace{\langle \phi_{inh}(x) \phi_h(y) \rangle}_{\phi_{inh}(y)} + \underbrace{\langle \phi_{inh}(x) \phi_{inh}(y) \rangle}_{\phi_{inh}(y)}$$

$$\phi_{inh}(x) = \frac{e}{4\pi\rho_0(x)} \left( 1 - \frac{\delta\rho(x)}{\rho_0(x)} \right)$$

$$\delta\rho(x) \simeq \delta\dot{z}^i(\tau_-^x) x_i \quad \sigma = \frac{e^2 a}{12\pi m} \ll 1$$

$$\delta\dot{z}^i(\tau) = \frac{e}{m} \int_{-\infty}^{\tau} d\tau' \partial_i \phi_h(\bar{z}(\tau')) e^{-a\sigma(\tau-\tau')}$$

$$= e \int \frac{d\omega}{2\pi} h(\omega) \partial_i \varphi(\omega) \quad h(\omega) = \frac{1}{m(-i\omega + a\sigma)}$$

$$\partial_i \phi_h(z(\tau)) = \int \frac{d\omega}{2\pi} \partial_i \varphi(\omega) e^{-i\omega\tau}$$

$$\langle \phi_h(x) \phi_{inh}(y) \rangle = -\frac{e}{4\pi\rho_0^2(y)} \langle \phi_h(x) \delta\rho(y) \rangle = -\frac{ey_i}{4\pi\rho_0^2(y)} \langle \phi_h(x) \delta\dot{z}^i(\tau_-^y) \rangle$$

## 2点関数 非同次解と同次解の相関の項

$$\langle \phi(x)\phi(y) \rangle = \langle \phi_h(x)\phi_h(y) \rangle + \underbrace{\langle \phi_h(x)\phi_{inh}(y) \rangle}_{\langle \phi_h(x)\phi_{inh}(y) \rangle} + \langle \phi_{inh}(x)\phi_h(y) \rangle + \langle \phi_{inh}(x)\phi_{inh}(y) \rangle$$

$$\underbrace{\langle \phi_h(x)\phi_{inh}(y) \rangle}_{\langle \phi_h(x)\phi_{inh}(y) \rangle} = -\frac{e}{4\pi\rho_0^2(y)} \langle \phi_h(x)\delta\rho(y) \rangle = -\frac{ey_i}{4\pi\rho_0^2(y)} \langle \phi_h(x)\delta z^i(\tau_-^y) \rangle$$

$$\langle \phi_h(x)\delta z^i(\tau_-^y) \rangle = e \int \frac{d\omega}{2\pi} h(\omega) \underbrace{\langle \phi_h(x)\partial_i\varphi(\omega) \rangle}$$

$$\langle \phi_h(x)\partial_i\varphi(\omega) \rangle = \int d\tau e^{i\omega\tau} \left( \frac{\partial}{\partial y^i} \langle \phi_h(x)\phi_h(y) \rangle \right)_{y=z(\tau)} = \frac{1}{4\pi^2} \frac{\partial}{\partial x^i} P(x, \omega)$$

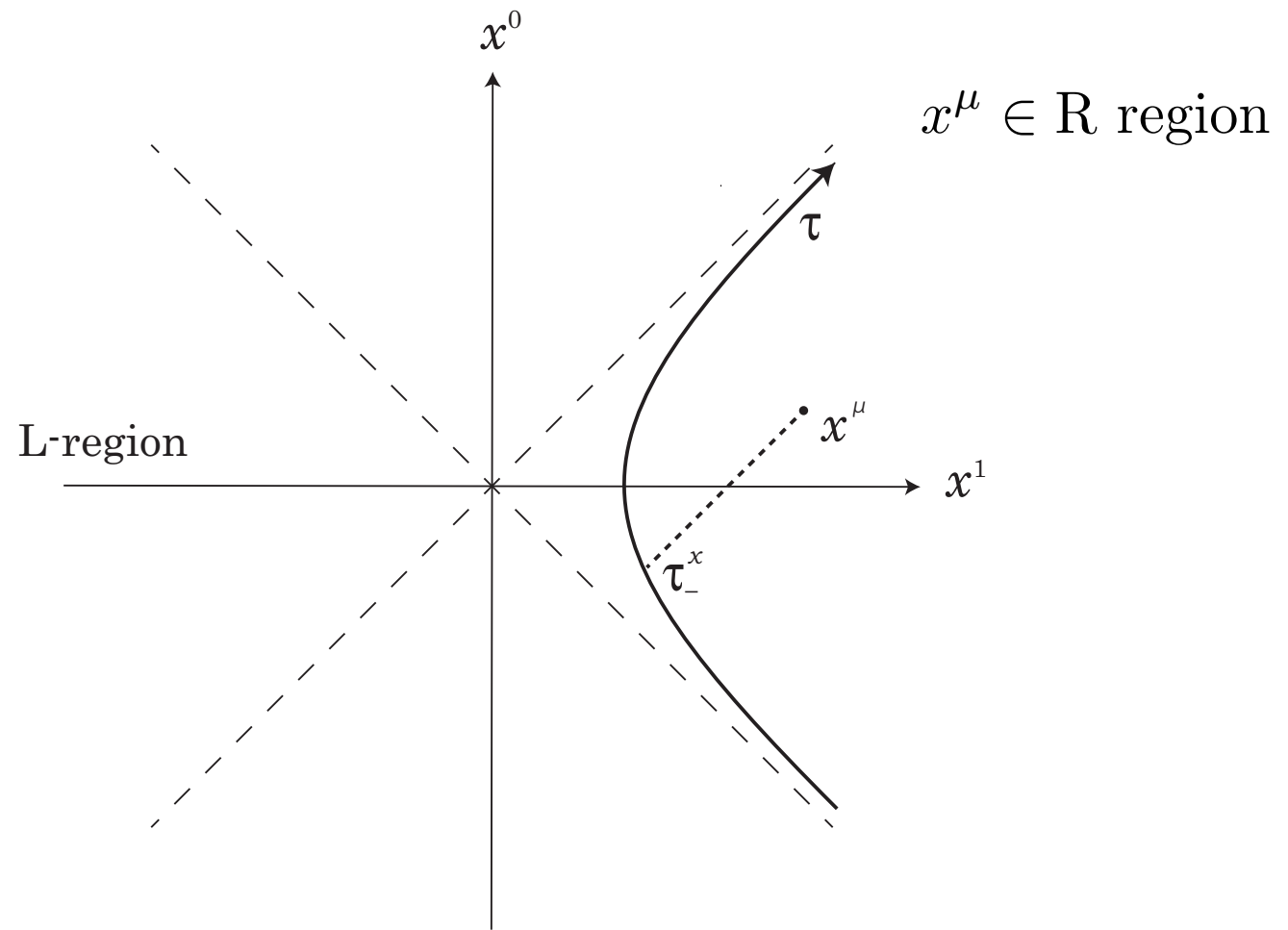
$$P(x, \omega) \equiv \int d\tau \frac{e^{i\omega\tau}}{(x^0 - z^0(\tau) - i\epsilon)^2 - (x^1 - z^1(\tau))^2 - x_\perp^2}$$

$$\langle \phi_h(x)\phi_h(z(\tau)) \rangle = -\frac{1}{4\pi^2} \frac{1}{\eta_{\mu\nu}(x^\mu - z^\mu(\tau))(x^\nu - z^\nu(\tau))}$$

ボーリー  $(x^0 - z^0(\tau))^2 - (x^1 - z^1(\tau))^2 - x_\perp^2 = 0 \quad \Leftrightarrow \quad \tau_\pm^x$

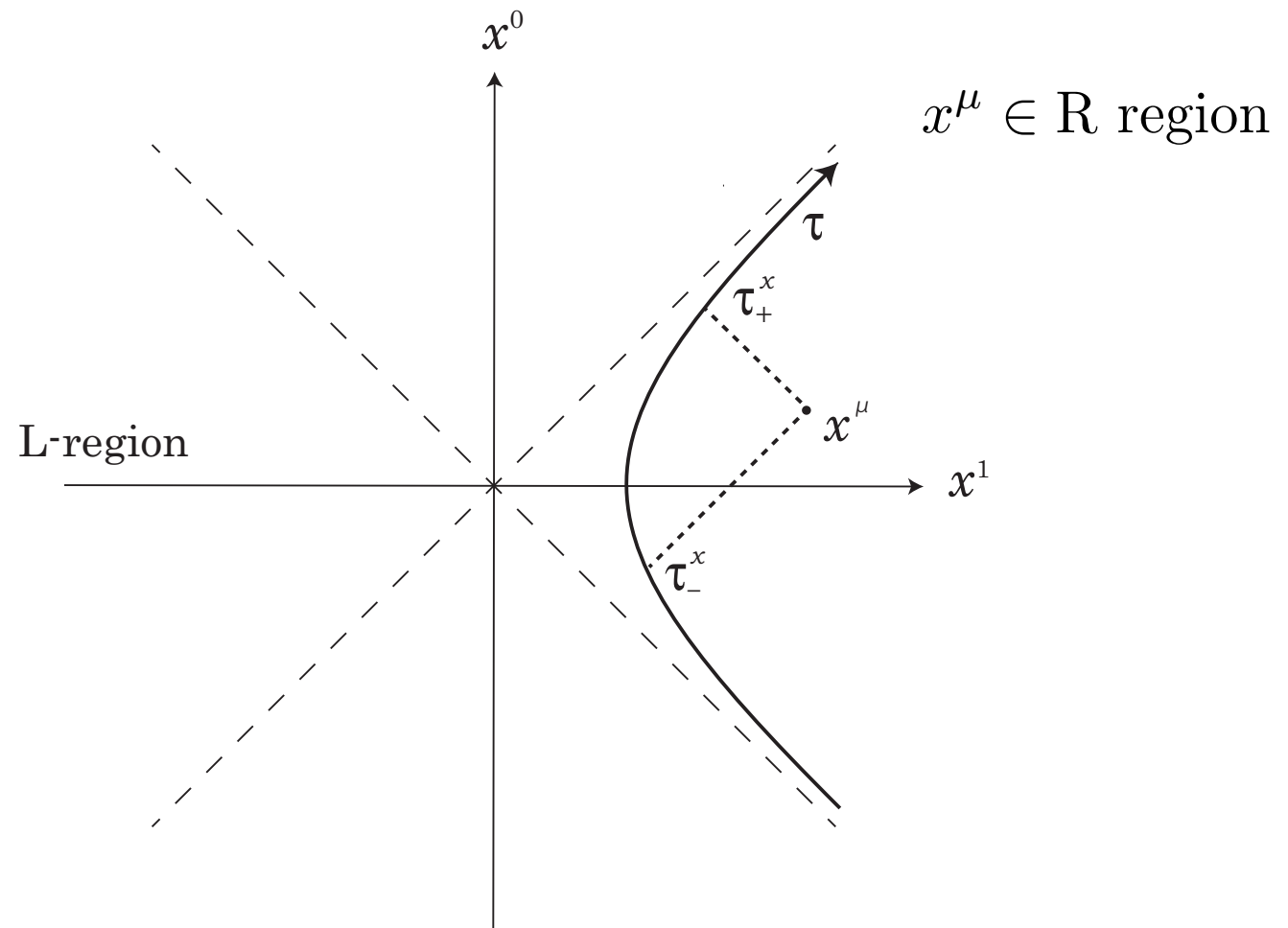
$$\tau_{\pm} \text{ の物理的意味} \quad (x^0 - z^0(\tau))^2 - (x^1 - z^1(\tau))^2 - x_{\perp}^2 = 0$$

時空の座標点  $x^{\mu}$  と光の経路で交わる粒子の軌道の点の固有時



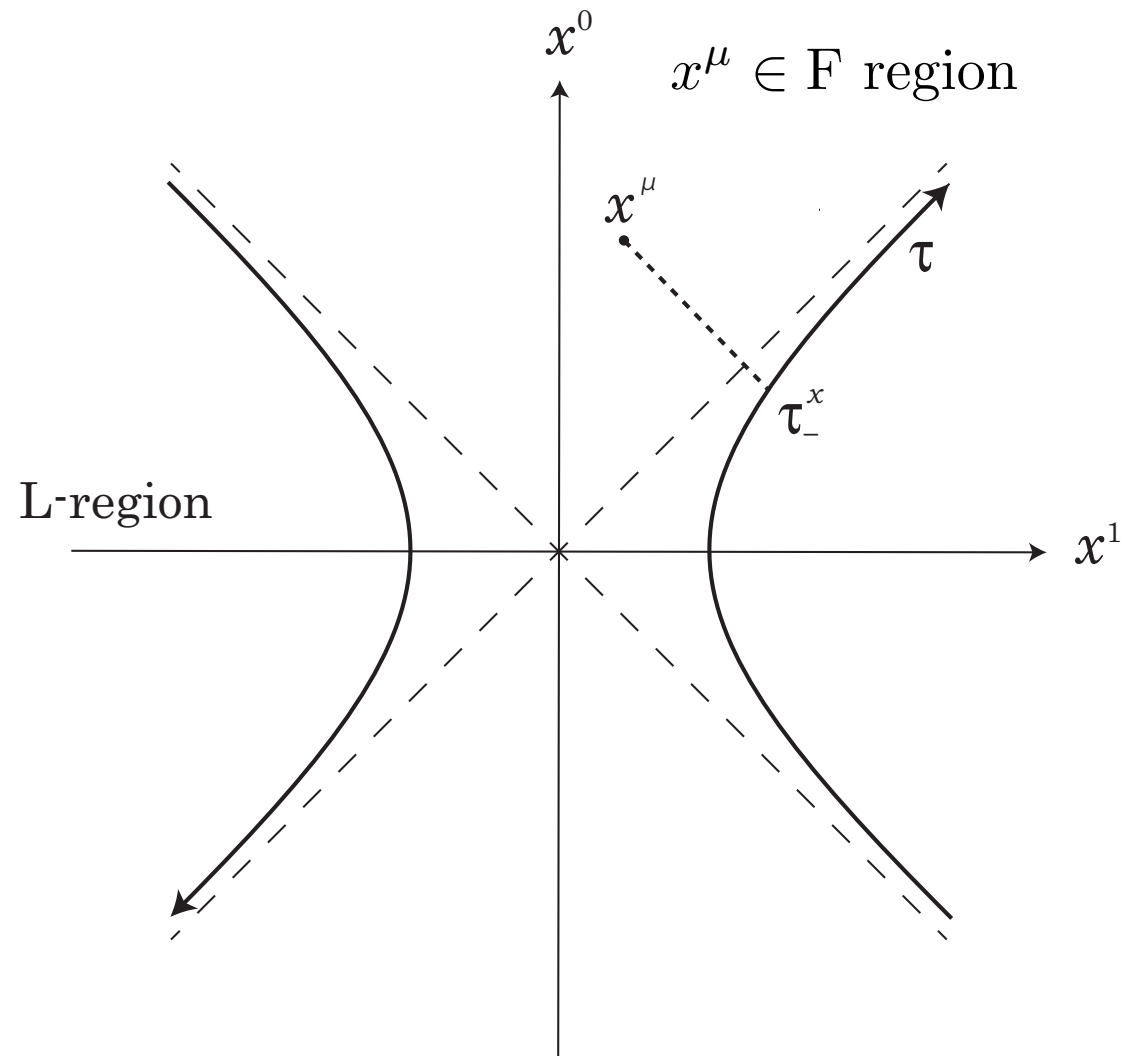
$$\tau_{\pm} \text{ の物理的意味} \quad (x^0 - z^0(\tau))^2 - (x^1 - z^1(\tau))^2 - x_{\perp}^2 = 0$$

時空の座標点  $x^{\mu}$  と光の経路で交わる粒子の軌道の点の固有時



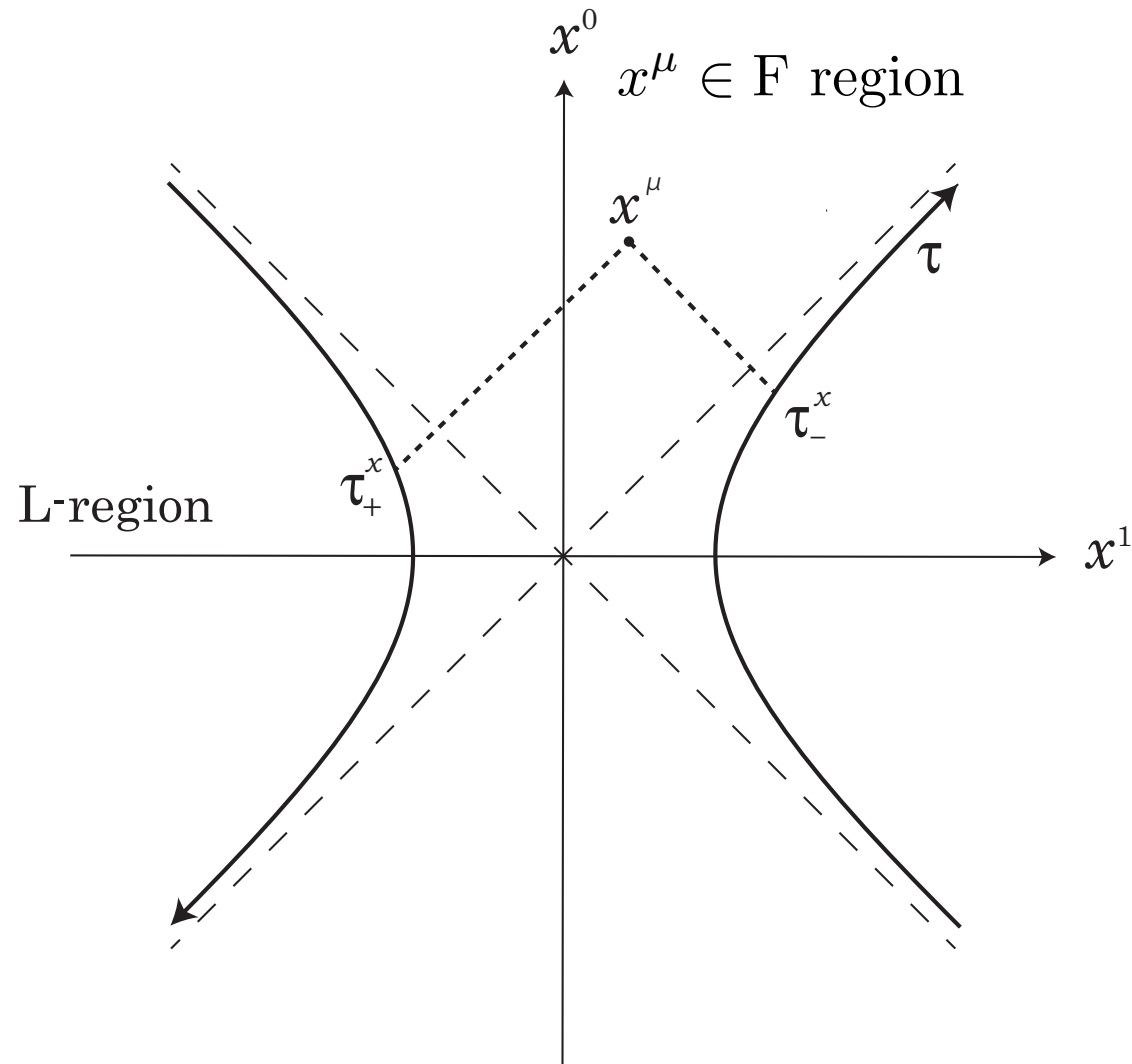
$$\tau_{\pm} \text{ の物理的意味 } (x^0 - z^0(\tau))^2 - (x^1 - z^1(\tau))^2 - x_{\perp}^2 = 0$$

時空の座標点  $x^{\mu}$  と光の経路で交わる粒子の軌道の点の固有時



$$\tau_{\pm} \text{ の物理的意味 } (x^0 - z^0(\tau))^2 - (x^1 - z^1(\tau))^2 - x_{\perp}^2 = 0$$

時空の座標点  $x^{\mu}$  と光の経路で交わる粒子の軌道の点の固有時



## 非同次解と同次解の相関

$$Z_x(w) = e^{\pi\omega/a} \theta(x^0 - x^1) + \theta(-x^0 + x^1)$$

$$\begin{aligned} \langle \phi_{inh}(x)\phi_h(y) \rangle + \langle \phi_h(x)\phi_{inh}(y) \rangle &= \frac{-iae^2}{m(4\pi)^2} \frac{x^i}{\rho_0^2(x)} \frac{y^i}{\rho_0^2(x)} \left[ \right. \\ &+ \int \frac{d\omega}{2\pi} \frac{1}{e^{-2\pi\omega/a} - 1} \left( \left( \frac{aL_y^2}{2\rho_0(y)} + \frac{i\omega}{a} \right) e^{i\omega(\tau_-^y - \tau_-^x)} + \left( -\frac{aL_y^2}{2\rho_0(y)} + \frac{i\omega}{a} \right) e^{i\omega(\tau_+^y - \tau_-^x)} Z_y(-\omega) \right) \frac{1}{a\sigma - i\omega} \\ &- \int \frac{d\omega}{2\pi} \frac{1}{e^{-2\pi\omega/a} - 1} \left( \left( \frac{aL_x^2}{2\rho_0(x)} - \frac{i\omega}{a} \right) e^{-i\omega(\tau_-^x - \tau_-^y)} + \left( -\frac{aL_x^2}{2\rho_0(x)} - \frac{i\omega}{a} \right) e^{-i\omega(\tau_+^x - \tau_-^y)} Z_x(-\omega) \right) \frac{1}{a\bar{\sigma} + i\omega} \left. \right] \\ &\quad \underbrace{\qquad\qquad}_{\tau_-} \qquad \underbrace{\qquad\qquad}_{\tau_+} \end{aligned}$$

## 非同次解と同次解の相関

$$Z_x(w) = e^{\pi\omega/a} \theta(x^0 - x^1) + \theta(-x^0 + x^1)$$

$$\begin{aligned} \langle \phi_{inh}(x)\phi_h(y) \rangle + \langle \phi_h(x)\phi_{inh}(y) \rangle &= \frac{-iae^2}{m(4\pi)^2} \frac{x^i}{\rho_0^2(x)} \frac{y^i}{\rho_0^2(x)} \left[ \right. \\ &+ \int \frac{d\omega}{2\pi} \frac{1}{e^{-2\pi\omega/a} - 1} \left( \left( \frac{aL_y^2}{2\rho_0(y)} + \frac{i\omega}{a} \right) e^{i\omega(\tau_-^y - \tau_-^x)} + \left( -\frac{aL_y^2}{2\rho_0(y)} + \frac{i\omega}{a} \right) e^{i\omega(\tau_+^y - \tau_-^x)} Z_y(-\omega) \right) \frac{1}{a\sigma - i\omega} \\ &- \int \frac{d\omega}{2\pi} \frac{1}{e^{-2\pi\omega/a} - 1} \left( \left( \frac{aL_x^2}{2\rho_0(x)} - \frac{i\omega}{a} \right) e^{-i\omega(\tau_-^x - \tau_-^y)} + \left( -\frac{aL_x^2}{2\rho_0(x)} - \frac{i\omega}{a} \right) e^{-i\omega(\tau_+^x - \tau_-^y)} Z_x(-\omega) \right) \frac{1}{a\sigma + i\omega} \left. \right] \\ &\quad \underbrace{\qquad}_{\tau_-} \qquad \qquad \qquad \underbrace{\qquad}_{\tau_+} \end{aligned}$$

## 非同次解同士の相関

$$\begin{aligned} \langle \phi_{inh}(x)\phi_{inh}(y) \rangle &= \frac{e^2}{(4\pi)^2} \frac{1}{\rho_0(x)\rho_0(y)} \\ &- \frac{iae^2}{m(4\pi)^2} \frac{x^i y^i}{\rho_0^2(x)\rho_0^2(y)} \overbrace{\left[ \int \frac{d\omega}{2\pi} \frac{1}{e^{-2\pi\omega/a} - 1} \frac{i\omega}{a} \left( -e^{i\omega(\tau_-^y - \tau_-^x)} - e^{-i\omega(\tau_-^x - \tau_-^y)} \right) \right]}^{\tau_-} \end{aligned}$$

## 非同次解と同次解の相関

←量子放射

$$\langle \phi_{inh}(x)\phi_h(y) \rangle + \langle \phi_h(x)\phi_{inh}(y) \rangle = \frac{-iae^2}{m(4\pi)^2} \frac{x^i}{\rho_0^2(x)} \frac{y^i}{\rho_0^2(x)} \left[ \right.$$

$$+ \int \frac{d\omega}{2\pi} \frac{1}{e^{-2\pi\omega/a} - 1} \left( \left( \frac{aL_y^2}{2\rho_0(y)} + \frac{i\omega}{a} \right) e^{i\omega(\tau_-^y - \tau_-^x)} + \left( -\frac{aL_y^2}{2\rho_0(y)} + \frac{i\omega}{a} \right) e^{i\omega(\tau_+^y - \tau_-^x)} Z_y(-\omega) \right) \frac{1}{a\sigma - i\omega}$$

$$- \int \frac{d\omega}{2\pi} \frac{1}{e^{-2\pi\omega/a} - 1} \left( \left( \frac{aL_x^2}{2\rho_0(x)} - \frac{i\omega}{a} \right) e^{-i\omega(\tau_-^x - \tau_-^y)} + \left( -\frac{aL_x^2}{2\rho_0(x)} - \frac{i\omega}{a} \right) e^{-i\omega(\tau_+^x - \tau_-^y)} Z_x(-\omega) \right) \frac{1}{a\sigma + i\omega} \left. \right]$$

$\tau_-$ 
 $\tau_+$

非同次解同士の相関

$$\langle \phi_{inh}(x)\phi_{inh}(y) \rangle = \frac{e^2}{(4\pi)^2} \frac{1}{\rho_0(x)\rho_0(y)}$$

←古典放射

$$- \frac{iae^2}{m(4\pi)^2} \frac{x^i y^i}{\rho_0^2(x)\rho_0^2(y)} \left[ \int \frac{d\omega}{2\pi} \frac{1}{e^{-2\pi\omega/a} - 1} \frac{i\omega}{a} \left( -e^{i\omega(\tau_-^y - \tau_-^x)} - e^{-i\omega(\tau_-^x - \tau_-^y)} \right) \right]$$

$\langle \phi_{inh}(x)\phi_{inh}(y) \rangle$  を加えるとキャンセルが起こる。 Iso, et al. (2011)

Chen & Tajima (99)でウンルー放射と言っている項は干渉項の一部とキャンセル

$$\langle \phi(x)\phi(y) \rangle - \langle \phi_h(x)\phi_h(y) \rangle = \langle \phi_{inh}(x)\phi_h(y) \rangle + \langle \phi_h(x)\phi_{inh}(y) \rangle + \langle \phi_{inh}(x)\phi_{inh}(y) \rangle$$

$$= \frac{e^2}{(4\pi)^2 \rho_0(x) \rho_0(y)} - \frac{iae^2}{2m(4\pi)^2} \frac{x^i}{\rho_0^2(x)} \frac{y^i}{\rho_0^2(y)} K(x, y)$$

↑  
古典放射      ↑  
量子放射への寄与

$$K(x, y) = + \int \frac{d\omega}{2\pi} \frac{h(\omega)}{e^{-2\pi\omega/a} - 1} \left( \frac{aL_y^2}{2\rho_0(y)} e^{i\omega(\tau_-^y - \tau_-^x)} + \left( -\frac{aL_y^2}{2\rho_0(y)} + \frac{i\omega}{a} \right) e^{i\omega(\tau_+^y - \tau_-^x)} Z_y(-\omega) \right)$$

$$- \int \frac{d\omega}{2\pi} \frac{h(-\omega)}{e^{-2\pi\omega/a} - 1} \left( \frac{aL_x^2}{2\rho_0(x)} e^{-i\omega(\tau_-^x - \tau_-^y)} + \left( -\frac{aL_x^2}{2\rho_0(x)} - \frac{i\omega}{a} \right) e^{-i\omega(\tau_+^x - \tau_-^y)} Z_x(-\omega) \right)$$

[                          ]

$\tau_-$

$\tau_+$

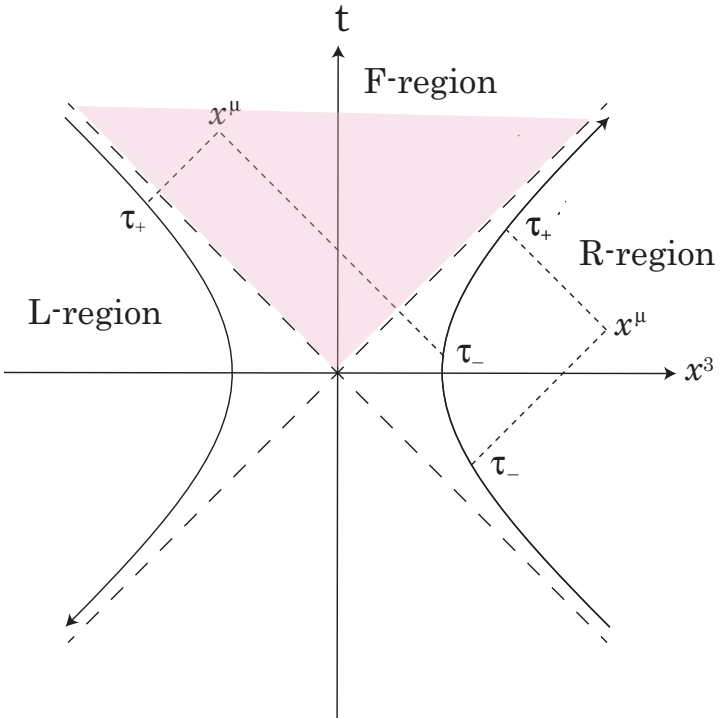
$$h(\omega) = \frac{1}{m} \frac{1}{a\sigma - i\omega} \quad L^2 = -x^\mu x_\mu + \frac{1}{a^2} \quad Z_x(w) = e^{\pi\omega/a} \theta(x^0 - x^1) + \theta(-x^0 + x^1)$$

量子放射の起源は  $\langle \phi_{inh}(x)\phi_h(y) \rangle + \langle \phi_h(x)\phi_{inh}(y) \rangle$  干渉項にある。

$$[\langle \phi(x)\phi(y) \rangle - \langle \phi_h(x)\phi_h(y) \rangle]_S = [\langle \phi_{inh}(x)\phi_h(y) \rangle + \langle \phi_h(x)\phi_{inh}(y) \rangle + \langle \phi_{inh}(x)\phi_{inh}(y) \rangle]_S$$

$$= \frac{e^2}{(4\pi)^2 \rho_0(x) \rho_0(y)} - \frac{iae^2}{2m(4\pi)^2} \frac{x^i}{\rho_0^2(x)} \frac{y^i}{\rho_0^2(y)} \left[ \frac{aL_x^2}{2\rho_0(x)} (I_3(x,y) - I_1(x,y)) + \frac{i}{a} I_2(x,y) \right]$$

$x, y \in F$  region



$$\sigma = \frac{e^2 a}{12\pi m} (\ll 1) をパラメーターとした展開$$

$$I_1(x,y) = -\frac{i}{2\pi\sigma} + \frac{i}{\pi} \log(1 + e^{-a|\tau_-^y - \tau_+^x|}) \\ + \frac{1}{\pi} a(\tau_-^y - \tau_+^x) \theta(\tau_-^y - \tau_+^x) + \mathcal{O}(\sigma)$$

$$I_2(x,y) = -\frac{a}{\pi} \frac{1}{e^{a(\tau_+^x - \tau_-^y)} + 1} + \mathcal{O}(\sigma)$$

$$I_3(x,y) = -\frac{i}{2\pi\sigma} + \frac{i}{\pi} \log(1 - e^{-a|\tau_-^y - \tau_-^x|}) \\ + \frac{1}{\pi} a(\tau_-^y - \tau_-^x) \theta(\tau_-^y - \tau_-^x) + \mathcal{O}(\sigma)$$

## エネルギー運動量テンソル

$$T_{\mu\nu} = \partial_\mu \phi \partial_\nu \phi - \frac{1}{2} g_{\mu\nu} \partial_\alpha \phi \partial^\alpha \phi$$

エネルギーflux  $f \leftarrow$  2点関数の微分

$$T_{0i} = \lim_{y \rightarrow x} \left\langle \frac{\partial \phi(x)}{\partial x^0} \frac{\partial \phi(y)}{\partial y^i} \right\rangle = \lim_{y \rightarrow x} \frac{\partial}{\partial x^0} \frac{\partial}{\partial y^i} \left\langle \phi(x) \phi(y) \right\rangle$$

$$\begin{aligned} f &= - \sum_i T_{0i} n^i \quad n^i = \frac{x^i}{r} \\ &= f^C + f^Q \end{aligned}$$

# エネルギー運動量テンソル

$x \in F$  region

$$T_{0\mu}^C = \frac{a^2 e^2}{(4\pi)^2} \frac{x_0 x_\mu}{\rho_0^4(x)} P^2$$

$$\begin{aligned} T_{0\mu}^Q &= \frac{2a^3 e^2}{m(4\pi)^3} \frac{\mathbf{x}_\perp^2 x_0 x_\mu}{\rho_0^6(x)} \left[ -4P(3P^2 - 1) \left\{ \log a\epsilon - \log \left( 1 - e^{-a|\tau_- - \tau_+|} \right) - a(\tau_- - \tau_+) \theta(\tau_- - \tau_+) \right\} \right. \\ &\quad \left. - \frac{2(9P^2 - 1)}{e^{a(\tau_+ - \tau_-)} + 1} + (P^2 - 1) - P \left\{ \frac{2}{(a\epsilon)^2} - \frac{5}{2} \frac{1}{\cosh^2(a(\tau_+ - \tau_-)/2)} \right\} - \frac{1}{2} \frac{\tanh(a(\tau_+ - \tau_-)/2)}{\cosh^2(a(\tau_+ - \tau_-)/2)} \right] \end{aligned}$$

$$P = \frac{-aL^2}{2\rho_0(x)}$$

$$L^2 = -(t^2 - r^2) + \frac{1}{a^2}$$

$$\rho_0(x) = \sqrt{\left( \frac{a}{2}(t^2 - r^2) - \frac{1}{2a} \right)^2 + t^2 - r^2 \cos^2 \theta}$$

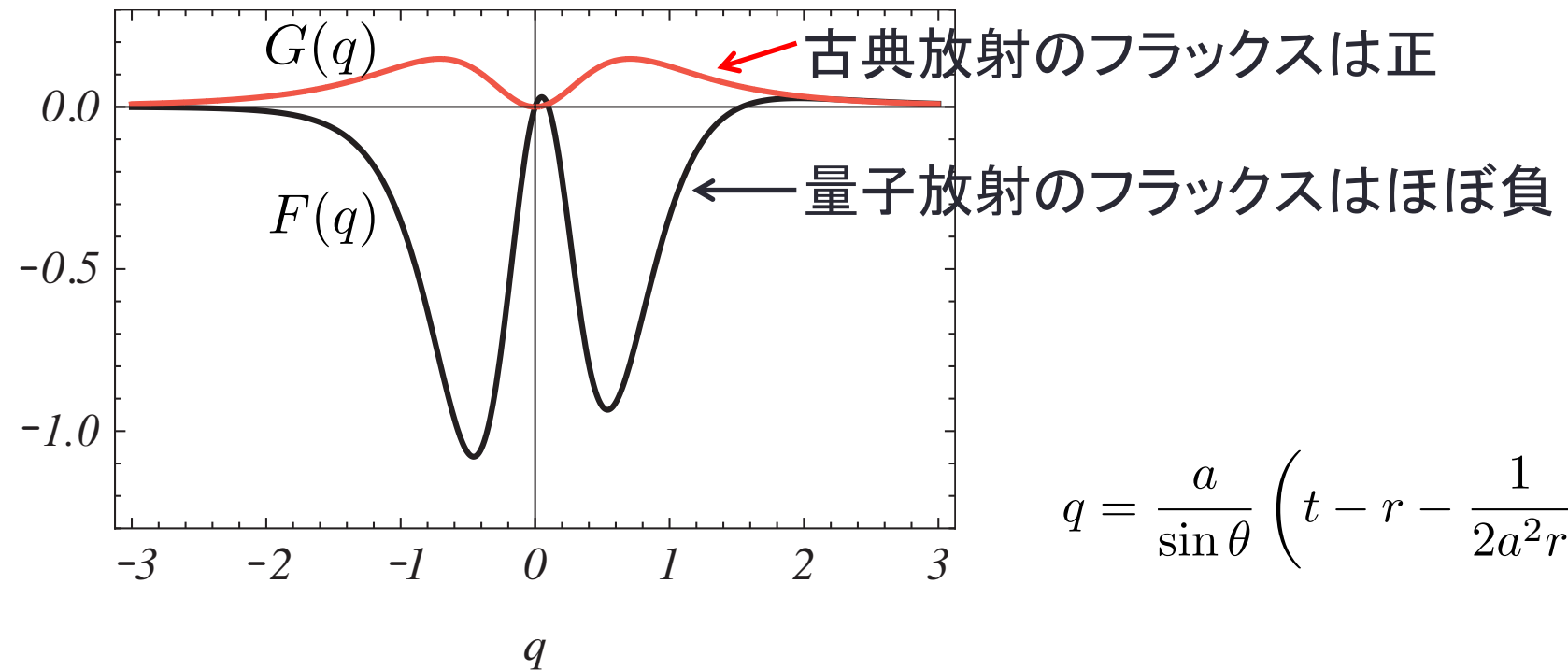
$$\tau_+ - \tau_- = \log \left[ \frac{+L^2 + \sqrt{L^4 + \frac{4}{a^2}(t^2 - r^2 \cos^2 \theta)}}{-L^2 + \sqrt{L^4 + \frac{4}{a^2}(t^2 - r^2 \cos^2 \theta)}} \right]$$

$$f = - \sum_i T_{0i} n^i = f^C + f^Q$$

Oshita, YK, Zhang (2015)

$$f^C = \left(\frac{e}{4\pi}\right)^2 \frac{a^2}{r^2} \frac{G(q)}{\sin^4 \theta}$$

$$f^Q = \frac{a}{2\pi m} \left(\frac{e}{4\pi}\right)^2 \frac{a^2}{r^2} \frac{F(q)}{\sin^4 \theta}$$

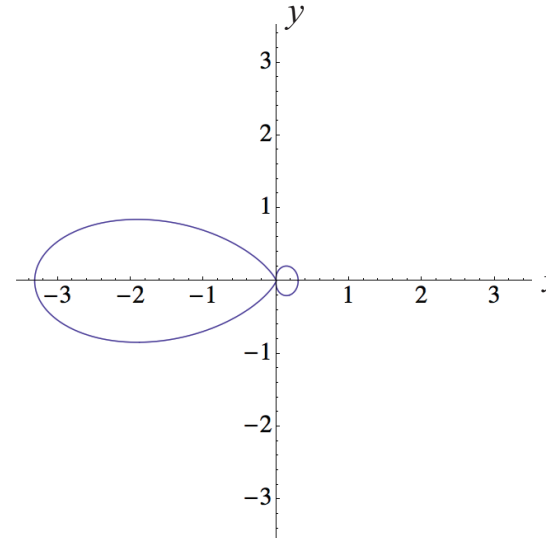


$$q = \frac{a}{\sin \theta} \left( t - r - \frac{1}{2a^2 r} \right)$$

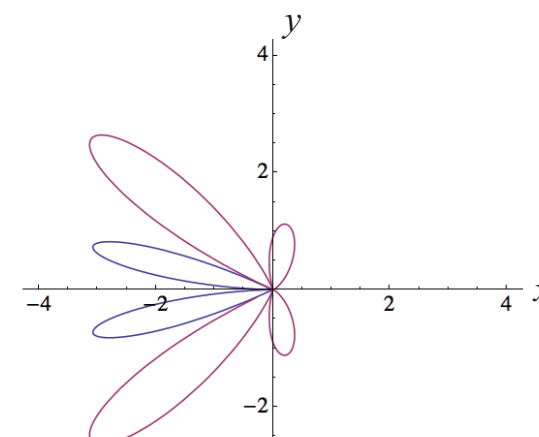
# 放射強度の角度依存性

$f^C(\tau_-, \theta)$  古典放射

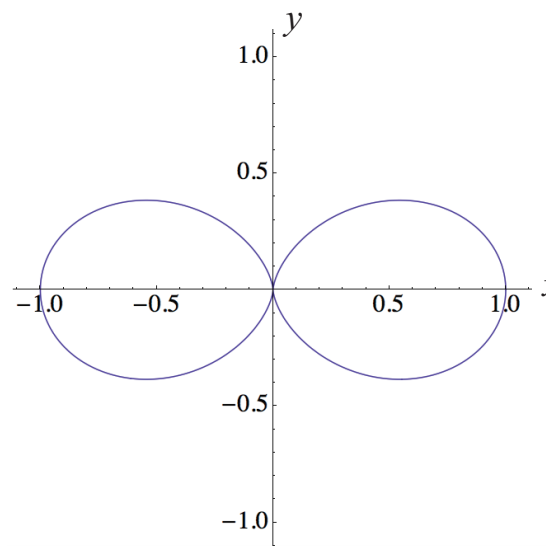
$$\tau_- = -0.3/a$$



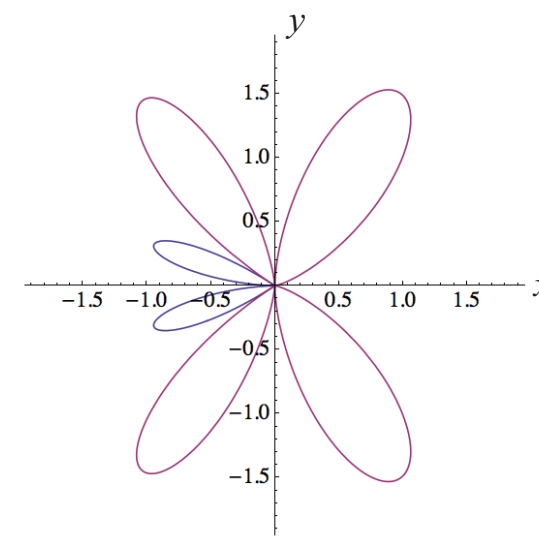
$f^Q(\tau_-, \theta)$  量子放射



$$\tau_- = 0$$



古典放射 + 量子放射  $> 0$



$$\tau_- = 0.3/a$$

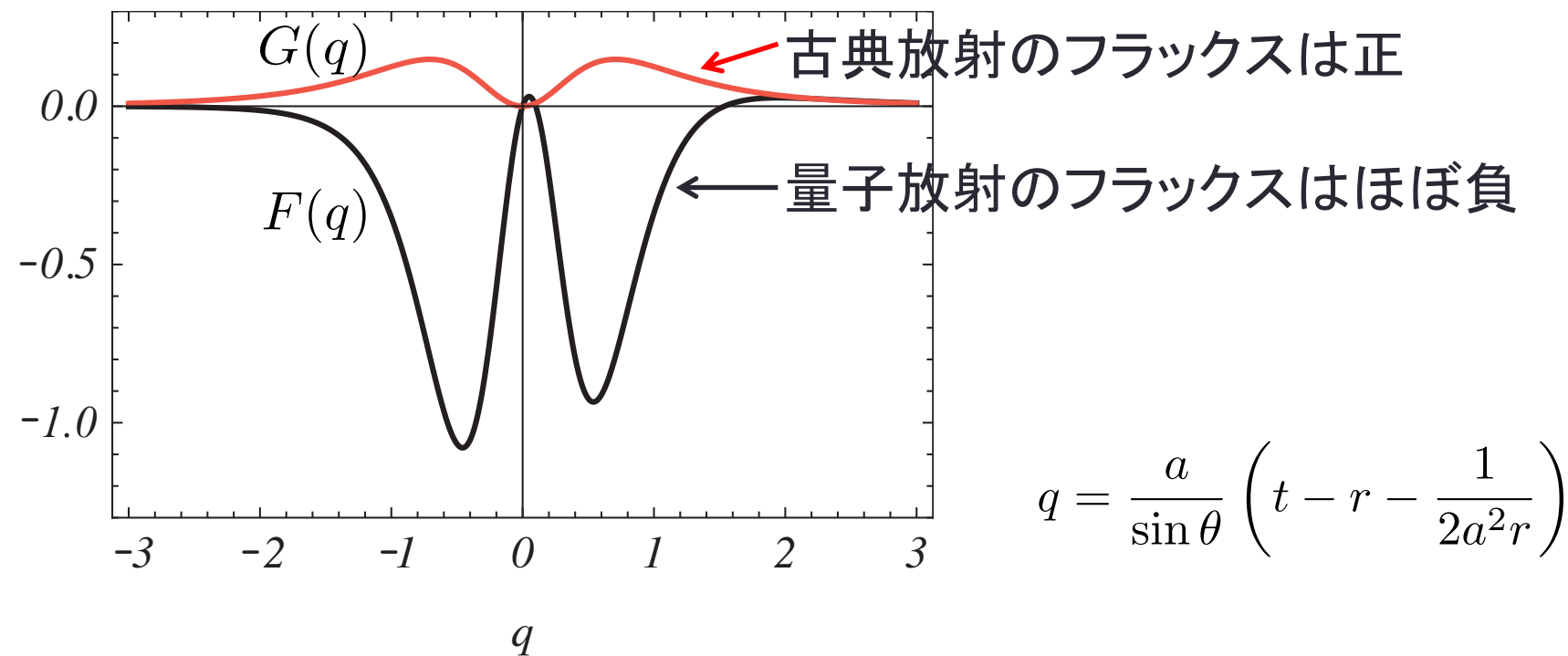
$$f = - \sum_i T_{0i} n^i = f^C + f^Q$$

Oshita, YK, Zhang (2015)

$$f^C + f^Q > 0$$

古典放射 + 量子放射 > 0

量子放射成分は放射を抑制



## エネルギー運動量テンソル

$$T_{\mu\nu} = \partial_\mu \phi \partial_\nu \phi - \frac{1}{2} g_{\mu\nu} \partial_\alpha \phi \partial^\alpha \phi$$

エネルギーflux  $f \leftarrow$  2点関数の微分

$$T_{0i} = \lim_{y \rightarrow x} \left\langle \frac{\partial \phi(x)}{\partial x^0} \frac{\partial \phi(y)}{\partial y^i} \right\rangle = \lim_{y \rightarrow x} \frac{\partial}{\partial x^0} \frac{\partial}{\partial y^i} \left\langle \phi(x) \phi(y) \right\rangle$$

$$\begin{aligned} f &= - \sum_i T_{0i} n^i \quad n^i = \frac{x^i}{r} \\ &= f^C + f^Q \end{aligned}$$

## エネルギー放射率

$$\frac{dE}{dt} = \lim_{r \rightarrow \infty} r^2 \int d\Omega f = \frac{dE^C}{dt} + \frac{dE^Q}{dt}$$

古典放射  $\frac{dE^C}{dt} \sim \frac{e^2 a^2}{(4\pi)^2}$

量子放射  $\frac{dE^Q}{dt} \sim -\frac{a}{m} \frac{e^2 a^2}{(4\pi)^2} \sim -\frac{a}{m} \frac{dE^C}{dt}$

全体の放射率を抑制する

### 3. 粒子と電磁場の模型

$$S[z, A] = -m \int d\tau \sqrt{\eta_{\mu\nu} \dot{z}^\mu \dot{z}^\nu} - \frac{1}{4} \int d^4x F^{\mu\nu} F_{\mu\nu} + S_{\text{int}}(z, A)$$

$$S_{\text{int}}(z, A) = -e \int d\tau \int d^4x \delta_D^4(x - z(\tau)) \dot{z}^\mu(\tau) A_\mu(x)$$

$$= -e \int d\tau \dot{z}^\mu(\tau) A_\mu(z(\tau))$$

✓  $\partial_\mu \partial^\mu A^\nu = e \int d\tau \dot{z}^\nu(\tau) \delta_D^4(x - z(\tau)) \quad \partial_\mu A^\mu = 0$

✓  $m \ddot{z}_\mu = e(\partial_\mu A_\nu - \partial_\nu A_\mu) \dot{z}^\nu + f_\mu$

$$z^\mu = \bar{z}^\mu + \delta z^\mu \qquad \qquad A^\mu(x) = A_h^\mu(x) + e \int d\tau G_R(x, z(\tau)) \dot{z}^\mu(\tau)$$

$$m \ddot{\delta z}_i(\tau) = \frac{e^2}{6\pi} (\ddot{\delta z}_i - a^2 \dot{\delta z}_i) + e(\eta_{i\nu} \dot{\bar{z}}_\alpha - \eta_{i\alpha} \dot{\bar{z}}_\nu) \partial^\nu A_h^\alpha(x) \Big|_{x=z(\tau)}$$

Transverse方向のランダム運動はエネルギー等分配則を満たす。

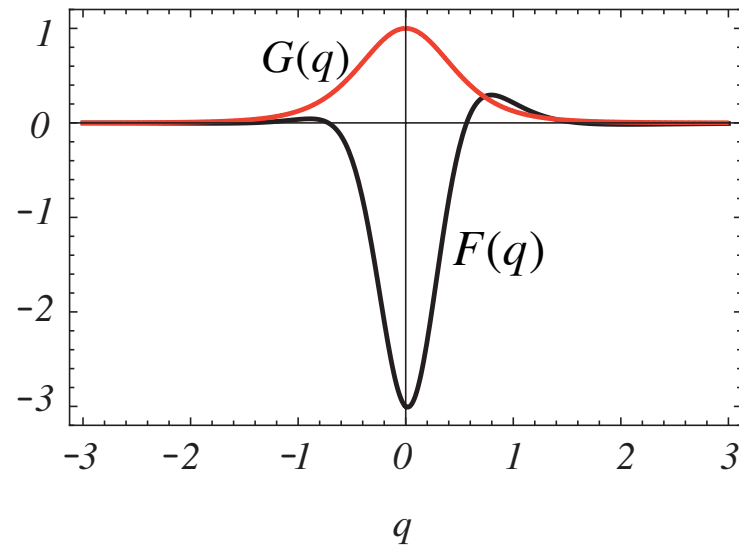
$$A_{\text{inh}}^\mu(x) = \frac{e}{4\pi\rho_0(x)} (\dot{z}^\mu(\tau_-^x) - E_{(-)^i}^\mu(x) \delta \dot{z}^i(\tau_-^x)) \quad E_{(\mp)}^{\mu i}(x) = \eta^{\mu i} - \frac{\dot{z}^\mu(\tau_\mp^x) x^i}{\rho_0(x)}$$

$$[\langle A_h^\alpha(x) A_{\text{inh}}^\beta(y) \rangle + \langle A_{\text{inh}}^\alpha(x) A_h^\beta(y) \rangle + \langle A_{\text{inh}}^\alpha(x) A_{\text{inh}}^\beta(y) \rangle]_S$$

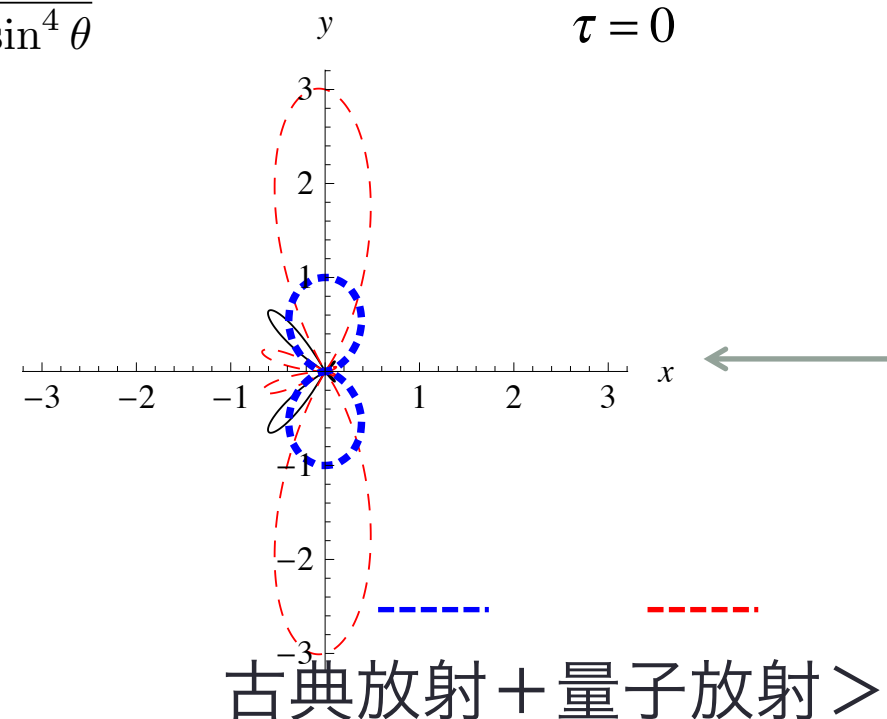
$$T_{0\mu} = -(A_{\alpha,0} - A_{0,\alpha})(A^{\alpha},_{\mu} - A_{\mu}{}^{\alpha}) \quad \text{干渉項とキャンセル}$$

$$f = - \sum_i T_{0i} n^i = f^C + f^Q$$

$$f^C = \left(\frac{e}{4\pi}\right)^2 \frac{a^2}{r^2} \frac{G(q)}{\sin^4 \theta} \quad f^Q = \frac{a}{2\pi m} \left(\frac{e}{4\pi}\right)^2 \frac{a^2}{r^2} \frac{F(q)}{\sin^4 \theta}$$



放射の角度依存性



# 量子場と相互作用する粒子模型における量子放射のまとめ

ウンルー温度のエネルギー等分配則を満たすランダム運動  
(Transverse方向の運動)

励起自由度からのナイーブな放射成分はキャンセルする。  
ゼロでない量子放射からの寄与<0

$$\frac{dE}{dt} \Big|_{\text{Quantum}} \sim -\frac{a}{m} \frac{dE}{dt} \Big|_{\text{Classical}}$$

量子放射は古典放射(ラーモア放射)を抑制する効果

# 加速粒子からの放射(Larmor 放射)の量子効果

A. Higuchi, P. J Walker (2010)  
G. Nakamura, K.Y. (2011)

背景場上の場の理論を使った別のアプローチの結果

$$E_C = \frac{e^2}{6\pi} \int dt \dot{V}^2(t)$$

$$\frac{dE_C}{dt} \sim \frac{e^2 a^2}{6\pi}$$

$$E_Q = \frac{e^2}{6\pi^2 m} \int dt \int dt' \frac{\ddot{V}(t)\dot{V}(t') - \dot{V}(t)\ddot{V}(t')}{t - t'}$$

$$\frac{dE_Q}{dt} \simeq -\frac{e^2 a^2}{6\pi} \times O\left(\frac{a}{m}\right)$$

量子効果が古典放射(ラモア放射)へ抑制として働く

# 量子場と相互作用する粒子模型における量子放射のまとめ

ウンルー温度のエネルギー等分配則を満たすランダム運動  
(Transverse方向の運動の解析のみ)

励起自由度からのナイーブな放射成分はキャンセルする。  
ゼロでない量子放射からの寄与<0

$$\frac{dE}{dt} \Big|_{\text{Quantum}} \sim -\frac{a}{m} \frac{dE}{dt} \Big|_{\text{Classical}}$$

量子放射は古典放射(ラーモア放射)を抑制する効果

干渉項からの寄与

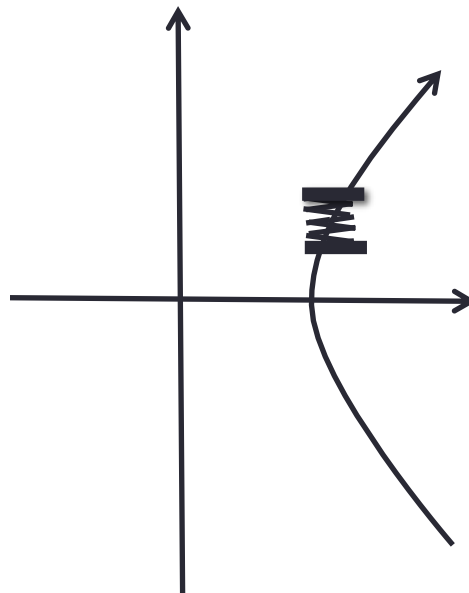
どのように解釈したらよいのか？

→ 異なるアプローチと整合性のある結論

# スカラー場とDetector(調和振動子)の模型

$$S[Q, \phi] = \frac{m}{2} \int d\tau \left( (\dot{Q}(\tau))^2 - \Omega_0^2 Q^2(\tau) \right) + \frac{1}{2} \int d^4x \partial^\mu \phi(x) \partial_\mu \phi(x) + S_{\text{int}}[Q, \phi]$$

$$S_{\text{int}}[Q, \phi] = \lambda \int d^4x d\tau Q(\tau) \phi(x) \delta^4(x - z(\tau))$$



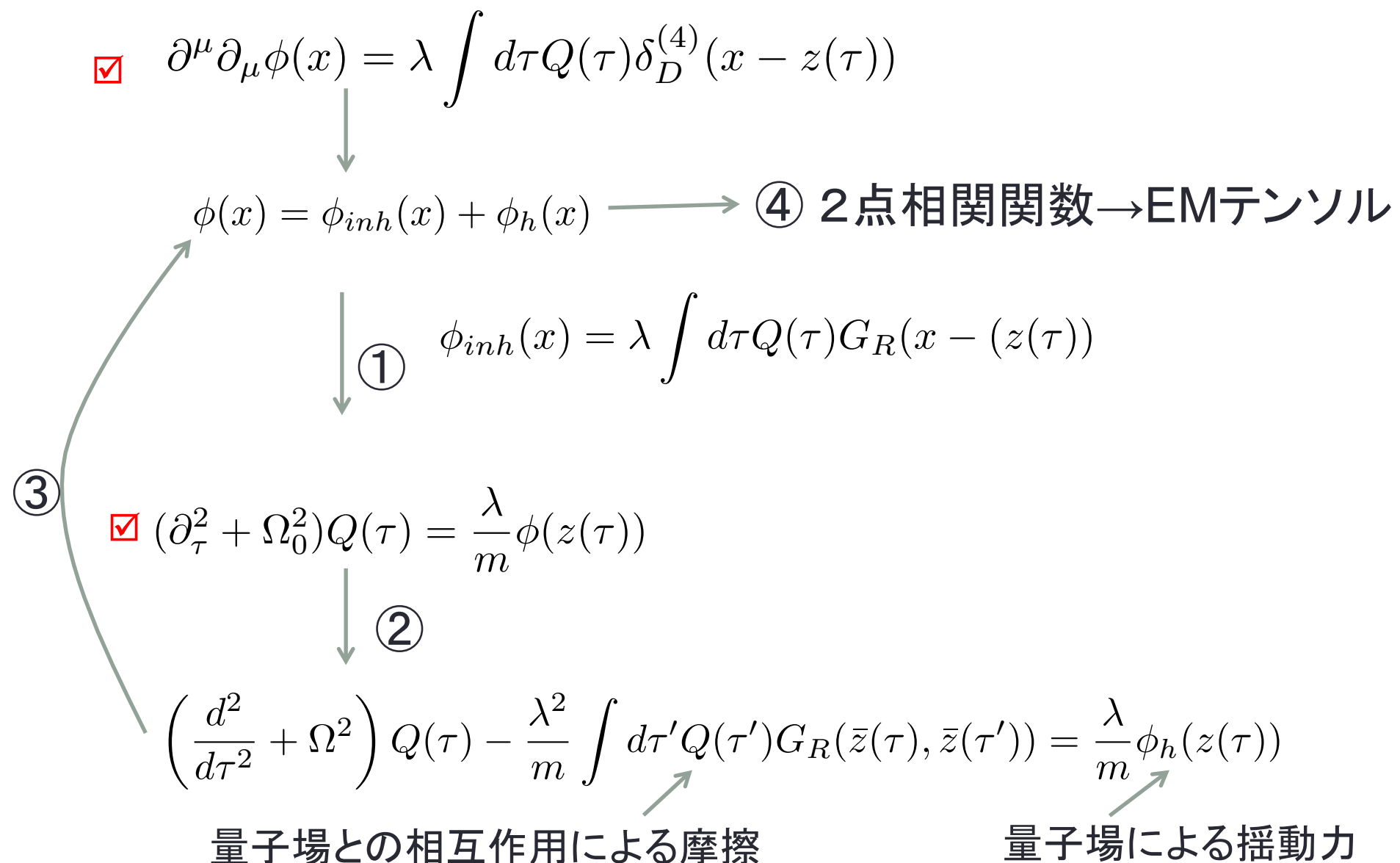
Ford & O'Connell (06)

Lin & Hu (06)

Iso, KY, Zhang (13)

干渉項に由来するフラックスがある。  
物理的意味を考える上で面白い。

## 4. Detectorとスカラー場の模型



## ②Detectorの運動方程式

$$\left( \frac{d^2}{d\tau^2} + \Omega_0^2 \right) Q(\tau) - \frac{\lambda^2}{m} \int d\tau' Q(\tau') G_R(z(\tau), z(\tau')) = \frac{\lambda}{m} \phi_h(z(\tau))$$



$$\left( \frac{d^2}{d\tau^2} + 2\gamma \frac{d}{d\tau} + \Omega^2 \right) Q(\tau) = \frac{\lambda}{m} \phi_h(z(\tau)) \quad \gamma = \frac{\lambda^2}{8\pi m}$$



$$Q(\tau) = \frac{1}{2\pi} \int d\omega e^{-i\omega\tau} \tilde{Q}(\omega)$$

$$\phi_h(z(\tau)) = \frac{1}{2\pi} \int d\omega e^{-i\omega\tau} \varphi(\omega)$$

$$\tilde{Q}(\omega) = \lambda h(\omega) \varphi(\omega) \quad h(\omega) = \frac{1}{-m\omega^2 + m\Omega^2 - i\frac{\omega\lambda^2}{4\pi}}$$

エネルギー一等分配則

$$\langle E \rangle = \frac{m}{2} \left( \langle \dot{Q}^2(\tau) \rangle + \Omega^2 \langle Q^2(\tau) \rangle \right) \longrightarrow \langle E \rangle \simeq \frac{a}{2\pi} = T_U$$

### ③ Detectorからの放射 2点相関関数

$$\phi(x) = \phi_h(x) + \phi_{inh}(x)$$

$$h(\omega) = \frac{1}{-m\omega^2 + m\Omega^2 - i\frac{\omega\lambda^2}{4\pi}}$$

$$\phi_{inh}(x) = \lambda^2 \int \int d\tau \frac{d\omega}{2\pi} e^{-i\omega\tau} h(\omega) G_R(x - z(\tau)) \varphi(\omega)$$

$$\langle \phi(x)\phi(y) \rangle = \underbrace{\langle \phi_h(x)\phi_h(y) \rangle}_{\langle \phi_{inh}(x)\phi_{inh}(y) \rangle} + \underbrace{\langle \phi_h(x)\phi_{inh}(y) \rangle}_{\langle \phi_{inh}(x)\phi_h(y) \rangle} + \underbrace{\langle \phi_{inh}(x)\phi_{inh}(y) \rangle}_{\langle \phi_{inh}(x)\phi_{inh}(y) \rangle}$$

$$\langle \phi_{inh}(x)\phi(y) \rangle + \langle \phi_h(x)\phi_{inh}(y) \rangle$$

$$= \lambda^2 \int d\tau \frac{d\omega}{2\pi} e^{-i\omega\tau} h(\omega) [G_R(x - z(\tau)) \langle \varphi(\omega)\phi_h(y) \rangle + G_R(y - z(\tau)) \langle \phi_h(x)\varphi(\omega) \rangle]$$

$$\begin{aligned} \langle \phi_h(x)\varphi(\omega) \rangle &= \int d\tau e^{i\omega\tau} \langle \phi_h(x)\phi_h(z(\tau)) \rangle \\ &= -\frac{1}{4\pi^2} \int d\tau \frac{1}{(t - z^0(\tau) - i\epsilon)^2 - (x^1 - \bar{z}(\tau))^2 - x_\perp^2} \\ &= \frac{i}{4\pi} \frac{1}{\rho_0(x)} \frac{1}{e^{2\pi\omega/a} - 1} (e^{i\omega\tau_-^x} - e^{i\omega\tau_+^x} Z_x(\omega)) \end{aligned}$$

$$Z_x(\omega) = \theta(-t + x^1) + e^{\pi\omega/a} \theta(t - x^1)$$

### ③ Detectorからの放射 2点相関関数

$$\begin{aligned}
 & \langle \phi_{inh}(x)\phi_h(y) \rangle + \langle \phi_h(x)\phi_{inh}(y) \rangle \\
 &= i\lambda^2 \int \frac{d\omega}{2\pi} \frac{1}{4\pi\rho_0(x)} \frac{1}{4\pi\rho_0(y)} \\
 &\quad \times \left( \underbrace{[h(\omega) - h(-\omega)] e^{-i\omega(\tau_-^x - \tau_-^y)}}_{\langle \phi_{inh}(x)\phi_{inh}(y) \rangle - \mathcal{T}_-} + \underbrace{h(-\omega) e^{-i\omega(\tau_+^x - \tau_-^y)} Z_x(-\omega) - h(\omega) e^{-i\omega(\tau_-^x - \tau_+^y)} z_y(-\omega)}_{\mathcal{T}_+} \right) \\
 &= -i\lambda^2 \int \frac{d\omega}{2\pi} \frac{1}{4\pi\rho_0(x)} \frac{1}{4\pi\rho_0(y)} \frac{e^{-i\omega(\tau_-^x - \tau_-^y)}}{1 - e^{-2\pi\omega/a}} [h(\omega) - h(-\omega)]
 \end{aligned}$$

$$Z_x(\omega) = \theta(-t + x^1) + e^{\pi\omega/a} \theta(t - x^1)$$

$$h(\omega) = \frac{1}{-m\omega^2 + m\Omega^2 - i\frac{\omega\lambda^2}{4\pi}}$$

$$\left( [h(\omega) - h(-\omega)] e^{-i\omega(\tau_-^x - \tau_-^y)} + h(-\omega) e^{-i\omega(\tau_+^x - \tau_-^y)} Z_x(-\omega) - h(\omega) e^{-i\omega(\tau_-^x - \tau_+^y)} z_y(-\omega) \right)$$

### ③ Detectorからの放射 2点相関関数

$$\langle \phi_{inh}(x)\phi_h(y) \rangle + \langle \phi_h(x)\phi_{inh}(y) \rangle \\ = i\lambda^2 \int \frac{d\omega}{2\pi} \frac{1}{4\pi\rho_0(x)} \frac{1}{4\pi\rho_0(y)} \frac{1}{1 - e^{-2\pi\omega/a}}$$

$$\times \left( [h(\omega) - h(-\omega)] e^{-i\omega(\tau_-^x - \tau_-^y)} + h(-\omega) e^{-i\omega(\tau_+^x - \tau_-^y)} Z_x(-\omega) - h(\omega) e^{-i\omega(\tau_-^x - \tau_+^y)} z_y(-\omega) \right)$$

$\langle \phi_{inh}(x)\phi_{inh}(y) \rangle \quad \tau_- \qquad \qquad \qquad \tau_+$

$$= -i\lambda^2 \int \frac{d\omega}{2\pi} \frac{1}{4\pi\rho_0(x)} \frac{1}{4\pi\rho_0(y)} \frac{e^{-i\omega(\tau_-^x - \tau_-^y)}}{1 - e^{-2\pi\omega/a}} [h(\omega) - h(-\omega)]$$

$$\langle \phi_{inh}(x)\phi_h(y) \rangle + \langle \phi_h(x)\phi_{inh}(y) \rangle + \langle \phi_{inh}(x)\phi_{inh}(y) \rangle$$

$$= -\frac{i\lambda^2}{(4\pi)^2 \rho_0(x) \rho_0(y)} \int_{-\infty}^{+\infty} \frac{d\omega}{2\pi} h(\omega) \left[ \frac{1}{1 - e^{-2\pi\omega/a}} e^{-i\omega(\tau_-^x - \tau_+^y)} Z_y(-\omega) - \frac{1}{1 - e^{2\pi\omega/a}} e^{-i\omega(\tau_-^y - \tau_+^x)} Z_x(\omega) \right]$$

$\langle \phi_{inh}(x)\phi_{inh}(y) \rangle$  を加えるとキャンセルが起こる。  
 → 励起自由度からのナープな放射はキャンセル

$$Z_x(\omega) = \theta(-t + x^1) + e^{\pi\omega/a} \theta(t - x^1)$$

$$h(\omega) = \frac{1}{-m\omega^2 + m\Omega^2 - i\frac{\omega\lambda^2}{4\pi}}$$

## 残った項は放射に寄与するのか？

$$\langle \phi_{inh}(x)\phi_h(y) \rangle + \langle \phi_h(x)\phi_{inh}(y) \rangle + \langle \phi_{inh}(x)\phi_{inh}(y) \rangle$$

$$= -\frac{i\lambda^2}{(4\pi)^2\rho_0(x)\rho_0(y)} \int_{-\infty}^{+\infty} \frac{d\omega}{2\pi} h(\omega) \left[ \frac{1}{1-e^{-2\pi\omega/a}} e^{-i\omega(\tau_-^x - \tau_+^y)} Z_y(-\omega) - \frac{1}{1-e^{2\pi\omega/a}} e^{-i\omega(\tau_-^y - \tau_+^x)} Z_x(\omega) \right]$$

$$h(\omega) = \frac{1}{-m\omega^2 + m\Omega^2 - i\frac{\omega\lambda^2}{4\pi}}$$

$$\omega = -i\Omega_{\pm} \quad \Omega_{\pm} = \gamma \pm \sqrt{\gamma^2 - \Omega^2} \quad \gamma = \frac{\lambda^2}{8\pi m}$$

$$[\langle \phi_{inh}(x)\phi_h(y) \rangle + \langle \phi_h(x)\phi_{inh}(y) \rangle + \langle \phi_{inh}(x)\phi_{inh}(y) \rangle]_S$$

$$= -\frac{i\lambda^2}{(4\pi)^2\rho_0(x)\rho_0(y)} \left( \frac{I(x,y)}{2m} + (x \leftrightarrow y) \right)$$

$$\begin{aligned} I(x,y) &= -i\theta(\tau_-^y - \tau_+^x) \left[ \frac{1}{\Omega_+\Omega_-} \frac{a}{2\pi} + \frac{e^{-\Omega_-(\tau_-^y - \tau_+^x)}}{\Omega_- - \Omega_+} \frac{1}{\sin \pi\Omega_-/a} + \frac{e^{-\Omega_+(\tau_-^y - \tau_+^x)}}{\Omega_+ - \Omega_-} \frac{1}{\sin \pi\Omega_+/a} \right. \\ &\quad \left. + \sum_{n=1}^{\infty} \frac{(-1)^n e^{-na(\tau_-^y - \tau_+^x)}}{(\Omega_- - na)(\Omega_+ - na)} \frac{a}{\pi} \right] + i\theta(\tau_+^x - \tau_-^y) \left[ \frac{1}{\Omega_+\Omega_-} \frac{a}{2\pi} + \sum_{n=1}^{\infty} \frac{(-1)^n e^{na(\tau_-^y - \tau_+^x)}}{(\Omega_- + na)(\Omega_+ + na)} \frac{a}{\pi} \right] \end{aligned}$$

$$\gamma > \Omega \quad x, y \in \text{F region}$$

# エネルギーーフラックス $f \leftarrow$ 2点関数の微分

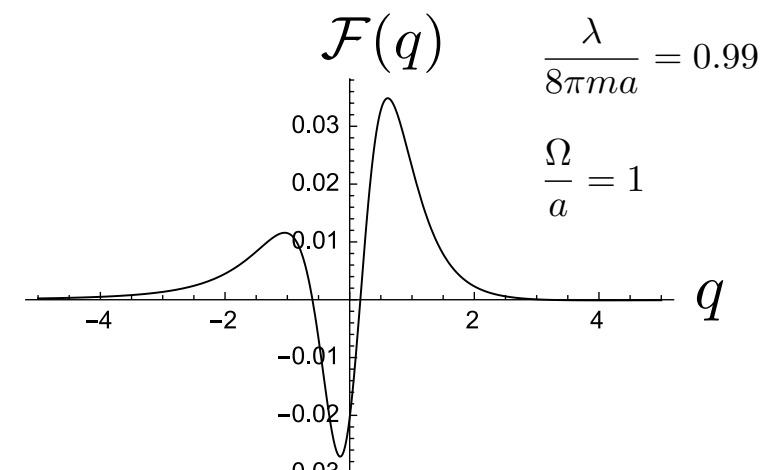
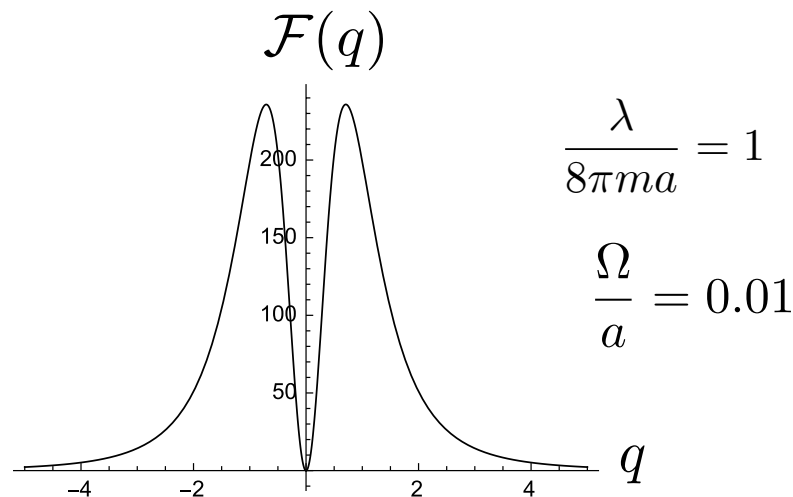
$$T_{0i} = \lim_{y \rightarrow x} \left\langle \frac{\partial \phi(x)}{\partial x^0} \frac{\partial \phi(y)}{\partial y^i} \right\rangle = \lim_{y \rightarrow x} \frac{\partial}{\partial x^0} \frac{\partial}{\partial y^i} \left\langle \phi(x) \phi(y) \right\rangle$$

$$\begin{aligned} f &= - \sum_i T_{0i} n^i \quad n^i = \frac{x^i}{r} \\ &= \frac{a\lambda^2}{(4\pi)^2 mr^2 \sin^4 \theta} \mathcal{F}(q, \Omega_+/a, \Omega_-/a) \end{aligned}$$

古典放射成分なし、  
量子放射成分のみ

$$q = \frac{a}{\sin \theta} \left( t - r - \frac{1}{2a^2 r} \right)$$

$$\begin{aligned} \mathcal{F}(q, \Omega_+/a, \Omega_-/a) &\sim \frac{q^2}{(1+q^2)^3} \left[ -\theta(q) \left\{ \frac{1}{\Omega_+/a} \frac{1}{\Omega_-/a} \frac{1}{2\pi} + \frac{1}{\Omega_-/a - \Omega_+/a} \left( \frac{-q + \sqrt{1+q^2}}{q + \sqrt{1+q^2}} \right)^{\Omega_-/a} \frac{1}{\sin \pi \Omega_-/a} \right\} \right. \\ &\quad \left. + \theta(-q) \left\{ \frac{1}{\Omega_+/a} \frac{1}{\Omega_-/a} \frac{1}{2\pi} \right\} \right] \end{aligned}$$



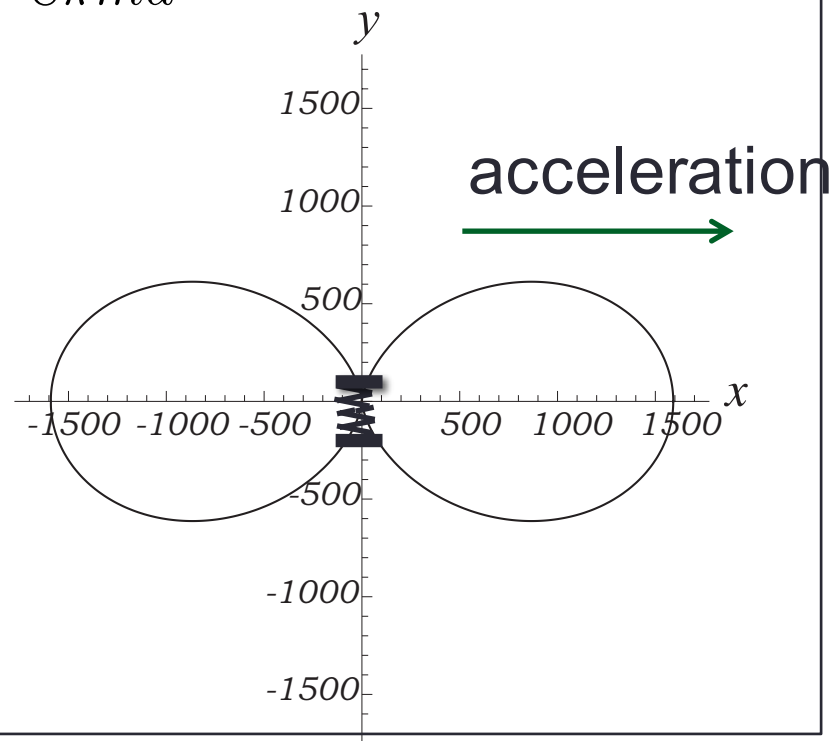
時間平均すると正のフラックス

# 放射強度の角度依存性

$$f(\tau_-, \theta)$$

$$\tau = 0$$

$$\frac{\lambda}{8\pi ma} = 1 \quad \frac{\Omega}{a} = 0.01$$



←  
古典放射成分はない

## ✓ エネルギー放射率

$$\frac{dE}{dt} = \lim_{r \rightarrow \infty} r^2 \int d\Omega_{(2)} f \sim \frac{a\lambda^2}{4\pi m} \mathcal{F} \sim \frac{a\lambda}{4\pi m} \frac{a^2}{2\pi\Omega^2}$$

- ✓ Lin & Hu (2006)が指摘した結果と同じ
- ✓ ウンルー効果により励起した自由度からの単純な放射では説明できない。
- ✓ この物理的意味は良く理解されていない。

# この放射の物理的意味は？

$$\langle \phi_{inh}(x)\phi_h(y) \rangle + \langle \phi_h(x)\phi_{inh}(y) \rangle + \langle \phi_{inh}(x)\phi_{inh}(y) \rangle$$

$$= -\frac{i\lambda^2}{(4\pi)^2\rho_0(x)\rho_0(y)} \int_{-\infty}^{+\infty} \frac{d\omega}{2\pi} h(\omega) \left[ \frac{1}{1-e^{-2\pi\omega/a}} e^{-i\omega(\tau_-^x - \tau_+^y)} Z_y(-\omega) - \frac{1}{1-e^{2\pi\omega/a}} e^{-i\omega(\tau_-^y - \tau_+^x)} Z_x(\omega) \right]$$

$$\beta = \frac{e^{2\pi\omega/a}}{e^{2\pi\omega/a} - 1} \quad x, y \in \text{R region}$$

$$\langle \phi_{inh}(x)\phi_h(y) \rangle + \langle \phi_h(x)\phi_{inh}(y) \rangle$$

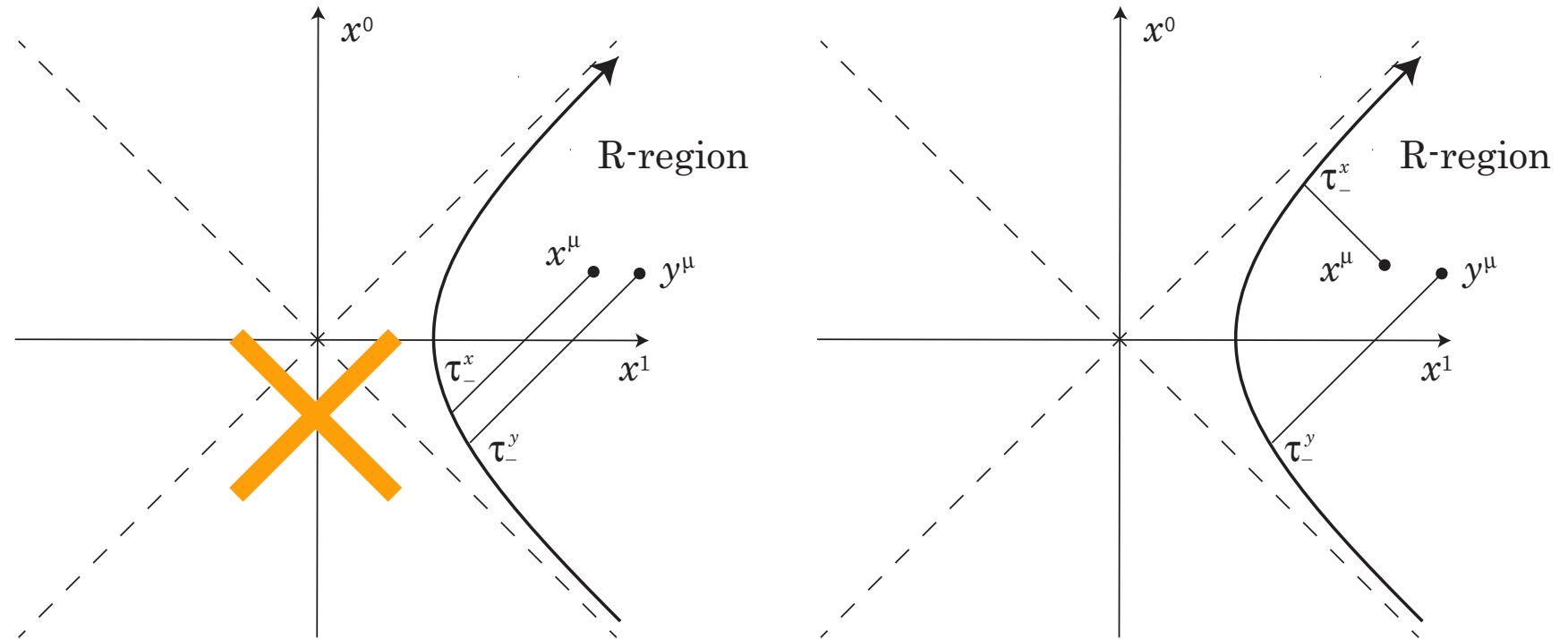
$$= i\lambda^2 \int \frac{d\omega}{2\pi} \beta(\omega) \int d\tau \int d\tau' e^{-i\omega(\tau-\tau')} \times \left[ G_R(x, z(\tau)) \cancel{G_R(y, z(\tau'))} h(\omega) - G_R(x, z(\tau)) G_R(y, z(\tau')) h(-\omega) \right]$$

$$-i\lambda^2 \int \frac{d\omega}{2\pi} \beta(\omega) \int d\tau \int d\tau' e^{-i\omega(\tau-\tau')} \times \left[ G_R(x, z(\tau)) G_A(y, z(\tau')) h(\omega) - G_A(x, z(\tau)) G_R(y, z(\tau')) h(-\omega) \right]$$

$$\langle \phi_{inh}(x)\phi_{inh}(y) \rangle$$

$$= -i\lambda^2 \int \frac{d\omega}{2\pi} \beta(\omega) \int d\tau \int d\tau' e^{-i\omega(\tau-\tau')} \times \left[ \cancel{G_R(x, z(\tau)) G_R(y, z(\tau'))} h(\omega) - G_R(x, z(\tau)) G_R(y, \bar{z}(\tau')) h(-\omega) \right]$$

$$\begin{aligned}
& \langle \phi_{inh}(x)\phi_h(y) \rangle + \langle \phi_h(x)\phi_{inh}(y) \rangle + \langle \phi_{inh}(x)\phi_{inh}(y) \rangle \\
&= -\frac{i\lambda^2}{(4\pi)^2 \rho_0(x)\rho_0(y)} \int_{-\infty}^{+\infty} \frac{d\omega}{2\pi} h(\omega) \left[ \frac{1}{1-e^{-2\pi\omega/a}} e^{-i\omega(\tau_-^x - \tau_+^y)} Z_y(-\omega) - \frac{1}{1-e^{2\pi\omega/a}} e^{-i\omega(\tau_-^y - \tau_+^x)} Z_x(\omega) \right] \\
&= -i\lambda^2 \int \frac{d\omega}{2\pi} \beta(\omega) \int d\tau \int d\tau' e^{-i\omega(\tau - \tau')} \times \left[ G_R(x, z(\tau)) G_A(y, z(\tau')) h(\omega) - G_A(x, z(\tau)) G_R(y, z(\tau')) h(-\omega) \right] \\
&\quad x, y \in \text{R region}
\end{aligned}$$



# この放射の物理的意味？

$$\langle \phi_{inh}(x)\phi_h(y) \rangle + \langle \phi_h(x)\phi_{inh}(y) \rangle + \langle \phi_{inh}(x)\phi_{inh}(y) \rangle$$

$$= -\frac{i\lambda^2}{(4\pi)^2\rho_0(x)\rho_0(y)} \int_{-\infty}^{+\infty} \frac{d\omega}{2\pi} h(\omega) \left[ \frac{1}{1-e^{-2\pi\omega/a}} e^{-i\omega(\tau_-^x - \tau_+^y)} Z_y(-\omega) - \frac{1}{1-e^{2\pi\omega/a}} e^{-i\omega(\tau_-^y - \tau_+^x)} Z_x(\omega) \right]$$

$$\beta = \frac{e^{2\pi\omega/a}}{e^{2\pi\omega/a} - 1} \quad x, y \in \text{F region}$$

$$\langle \phi_{inh}(x)\phi_h(y) \rangle + \langle \phi_h(x)\phi_{inh}(y) \rangle$$

$$= i\lambda^2 \int \frac{d\omega}{2\pi} \beta(\omega) \int d\tau \int d\tau' e^{-i\omega(\tau-\tau')} \times \left[ G_R(x, z(\tau)) G_R(y, z(\tau')) h(\omega) - G_R(x, z(\tau)) G_R(y, z(\tau')) h(-\omega) \right]$$

$$-i\lambda^2 \int \frac{d\omega}{2\pi} \beta(\omega) e^{-\pi\omega/a} \int d\tau \int d\tau' e^{-i\omega(\tau-\tau')} \left[ G_R(x, z(\tau)) G_R(y, \tilde{z}(\tau')) h(\omega) - G_R(x, \tilde{z}(\tau)) G_R(y, z(\tau')) h(-\omega) \right]$$

$$\langle \phi_{inh}(x)\phi_{inh}(y) \rangle$$

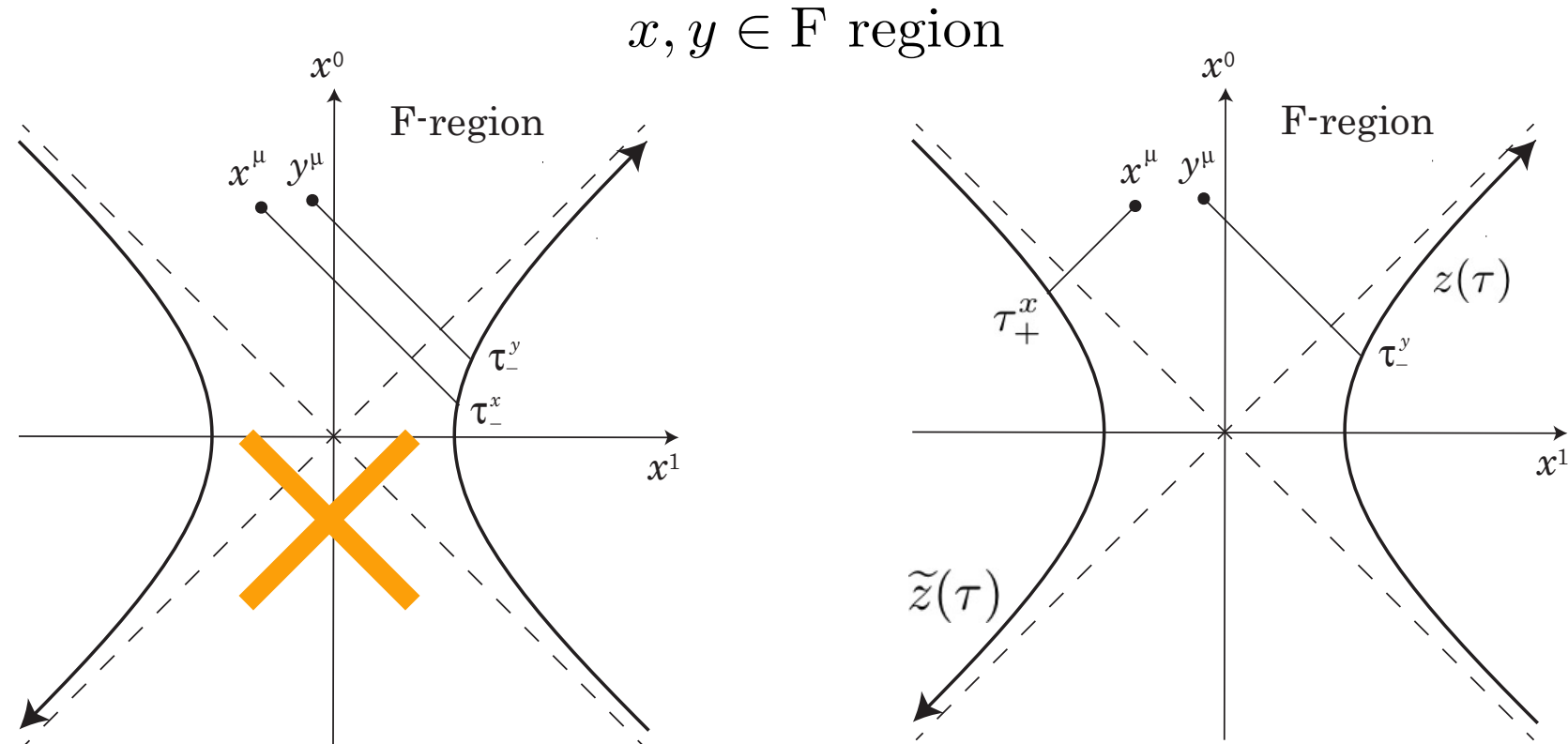
$$= -i\lambda^2 \int \frac{d\omega}{2\pi} \beta(\omega) \int d\tau \int d\tau' e^{-i\omega(\tau-\tau')} \times \left[ G_R(x, z(\tau)) G_R(y, z(\tau')) h(\omega) - G_R(x, z(\tau)) G_R(y, \bar{z}(\tau')) h(-\omega) \right]$$

# この放射の物理的意味？

$$\langle \phi_{inh}(x)\phi_h(y) \rangle + \langle \phi_h(x)\phi_{inh}(y) \rangle + \langle \phi_{inh}(x)\phi_{inh}(y) \rangle$$

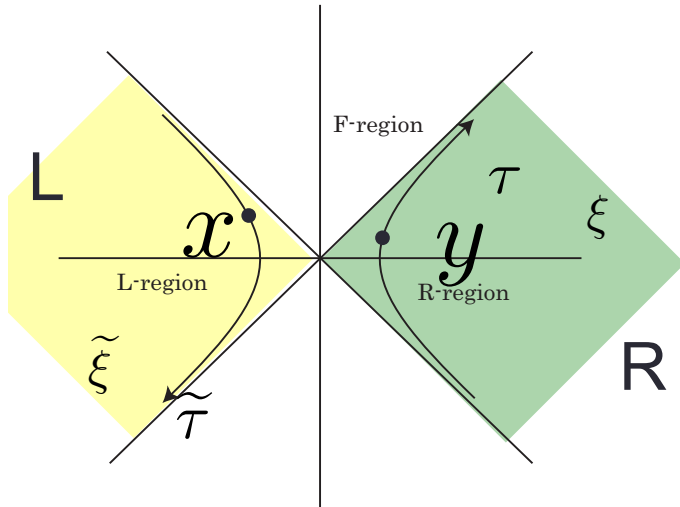
$$= -\frac{i\lambda^2}{(4\pi)^2 \rho_0(x)\rho_0(y)} \int_{-\infty}^{+\infty} \frac{d\omega}{2\pi} h(\omega) \left[ \frac{1}{1-e^{-2\pi\omega/a}} e^{-i\omega(\tau_-^x - \tau_+^y)} Z_y(-\omega) - \frac{1}{1-e^{2\pi\omega/a}} e^{-i\omega(\tau_-^y - \tau_+^x)} Z_x(\omega) \right]$$

$$= -i\lambda^2 \int \frac{d\omega}{2\pi} \beta(\omega) \int d\tau \int d\tau' e^{-i\omega(\tau-\tau')} \left[ G_R(x, z(\tau)) G_R(y, \tilde{z}(\tau')) h(\omega) - G_R(x, \tilde{z}(\tau)) G_R(y, z(\tau')) h(-\omega) \right]$$



残った干渉項は、R領域とL領域の相関を表す。

# ミンコフスキー真空のエンタングルメント



$$|0, M\rangle = \prod_j N_j \exp \left[ e^{-\pi \omega_j / a} \hat{b}_j^\dagger \hat{c}_j^\dagger \right] |0_R\rangle \otimes |0_L\rangle$$

$$= \prod_j \left[ N_j \sum_{n_j=0}^{\infty} e^{-\pi n_j \omega_j / a} |n_j, R\rangle \otimes |n_j, L\rangle \right]$$

$$N_j = \sqrt{1 - e^{-2\pi\omega_j/a}} \quad j : \text{mode}$$

$$\hat{\phi} = \hat{\phi}_R(\tau, \xi) \theta(-u) + \hat{\phi}_L(\tilde{\tau}, \tilde{\xi}) \theta(u)$$

$$x \in L, y \in R$$

$$\langle 0, M | \hat{\phi}(x) \hat{\phi}(y) | 0, M \rangle = \int d\omega \frac{\omega}{2} e^{-i\omega(\tau - \tilde{\tau})} \frac{e^{\pi\omega/a}}{e^{2\pi\omega/2} - 1}$$

$$\langle \hat{\phi}_{\text{inh}}(x) \hat{\phi}_{\text{h}}(y) \rangle \propto \int d\omega \frac{h(\omega)}{2\pi} e^{-i\omega(\tau_-^x - \tau_+^y)} \frac{e^{\pi\omega/a}}{e^{2\pi\omega/a} - 1}$$

R領域でdetectorによる影響がF領域に影響:干渉してフラックスを作り出す  
ミンコフスキー真空のエンタングルメントを反映

## 5.まとめと結論

### ☑ 一定加速運動する粒子と量子場の模型

ウンルー効果による熱的励起はあるが、  
期待した単純な放射はない。

干渉項から予言される量子放射のフラックスは負  
古典放射と合わせると正のフラックス  
放射を抑制する効果

### ☑ 一定加速運動するDetectorと量子場の模型

干渉項から予言される量子放射フラックスは正

干渉項の量子放射 ← ミンコフスキ－真空のエンタングルメント

一定加速運動する荷電粒子、原子からの放射  
は真空のエンタングルメントを反映

## 実験的検証の課題

### 具体的の模型

熱化時間

加速電子

Detector

$$\tau_R = \frac{12\pi m}{a^2 e^2} \sim 1.4 \times 10^{-5} \left( \frac{0.1\text{eV}}{a} \right)^2 \text{sec}$$

$$\tau_R = \frac{8\pi m}{\lambda^2}$$

Thank you!